

Experimentelle Quantenoptik (AG Birkl)

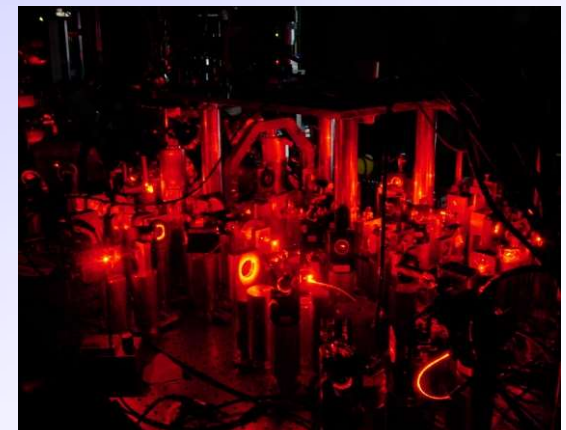
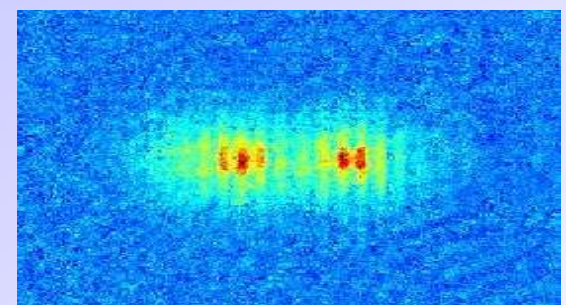
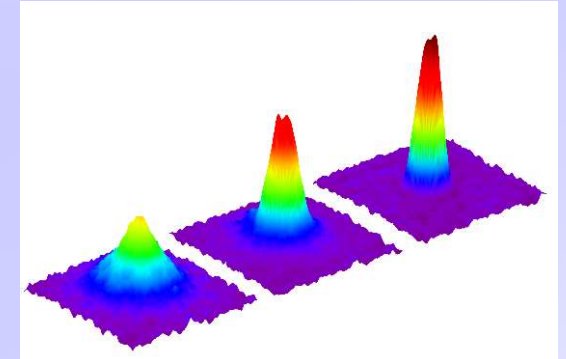
Atome - Photonen - Quanten

- Bose-Einstein-Kondensation
- Integrierte Atomoptik (ATOMTRONICS)
- Quanteninformation
- Laser-Spektroskopie hochgeladener Ionen

Gerhard Birkl

www.iap.tu-darmstadt.de/apq

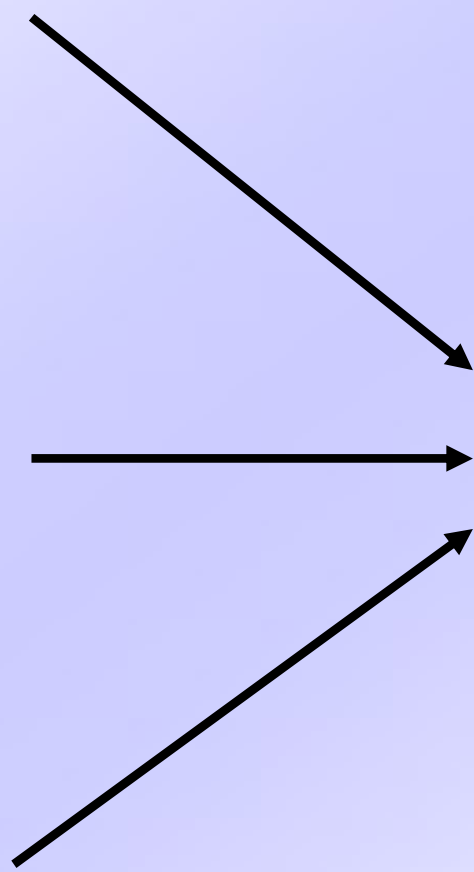
Diese Präsentation finden Sie unter
www.iap.tu-darmstadt.de/apq/teaching



Atoms as
Research Objects

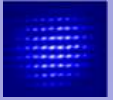
Quantum Optical
Methods for the
Control of Atoms

Quantum Physics as
Research Objective



**Quantum Physics
with Atoms
and Photons**

Projects, Group Members, and Co-Workers



ATOMTRONICS = Bose-Einstein-Condensation and Integrated Atom Optics

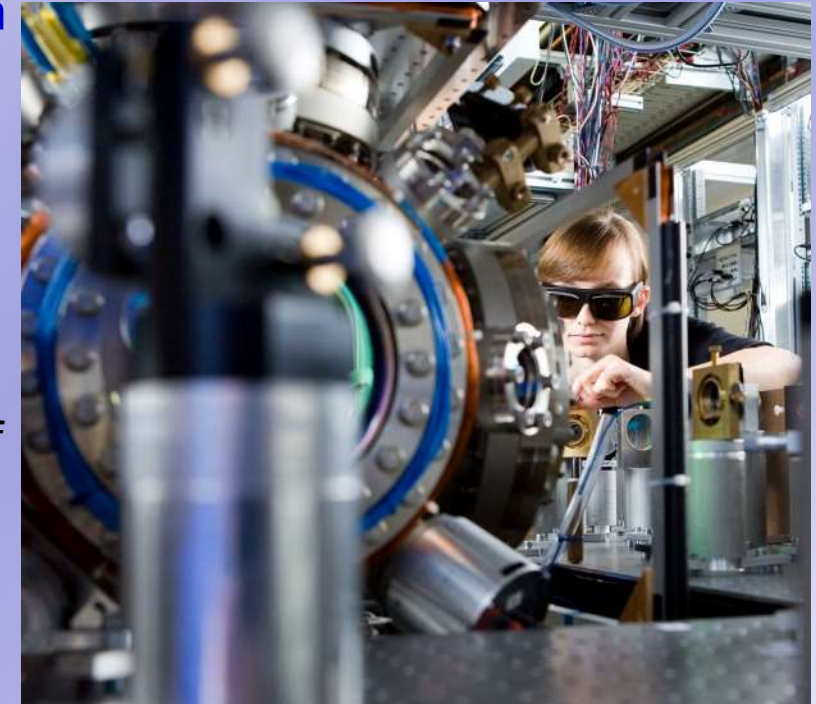
Dominik Pfeiffer, Ludwig Lind, Daniel Derr

Quantum Information Processing and Quantum Simulation with individual Atoms

Malte Schlosser, Dominik Schäffner, Tilman Preuschoff,
Lars Pause, Tobias Schreiber, Fabian Lenz, Yannic Wolf

State-of-the-Art Electronics, Lasers, & Control Software for Quantum Optics Experiments

Patrick Baus, Tilman Preuschoff, Lars Pause



Laser Spectroscopy with Highly Charged Ions (@GSI/FAIR)

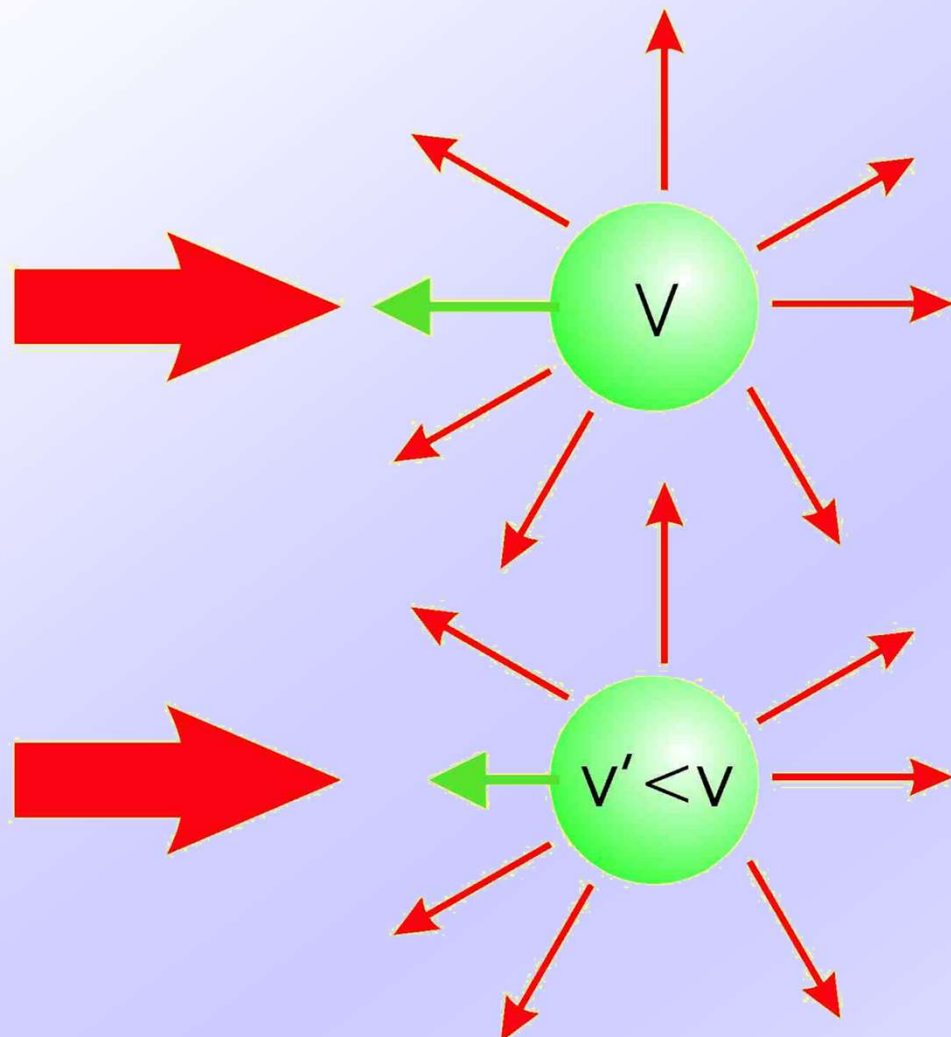
Patrick Baus, Jeffrey Klimes, Kanika Kanika, Manuel Vogel, Wolfgang Quint, and
the **SPECTRAP** and **ARTEMIS** collaborations

Collaborations

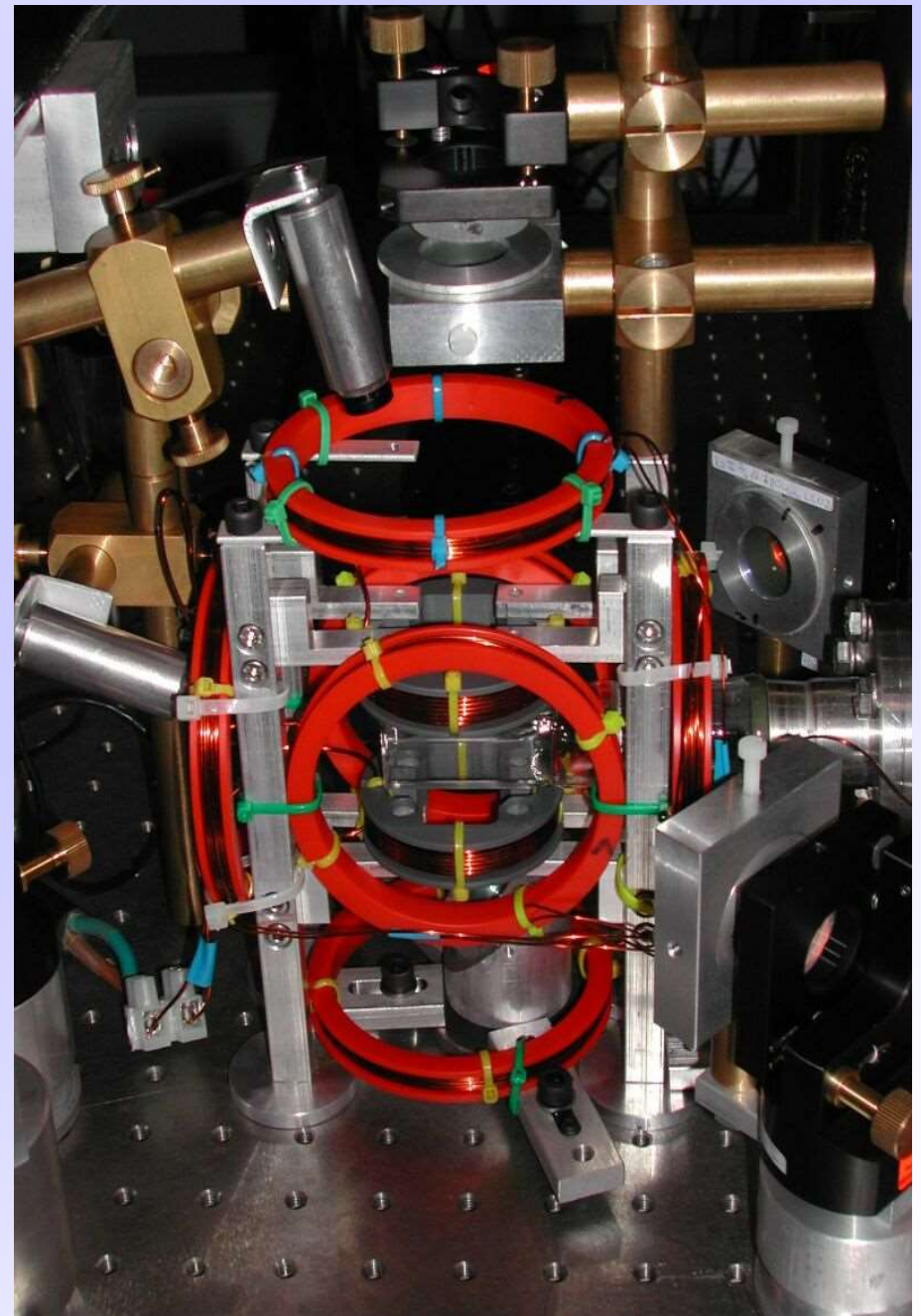
Jordi Mompart, Anna Sanpera, Veronica Ahufinger, Alex Turpin, Maciej Lewenstein (Barcelona)
R. Dumke (NTU), Th. Stöhlker (Uni Jena und GSI), Bill Phillips (NIST), K. Helmerson (Monash)

+ Nathalie Selliers von Moranville (Management)

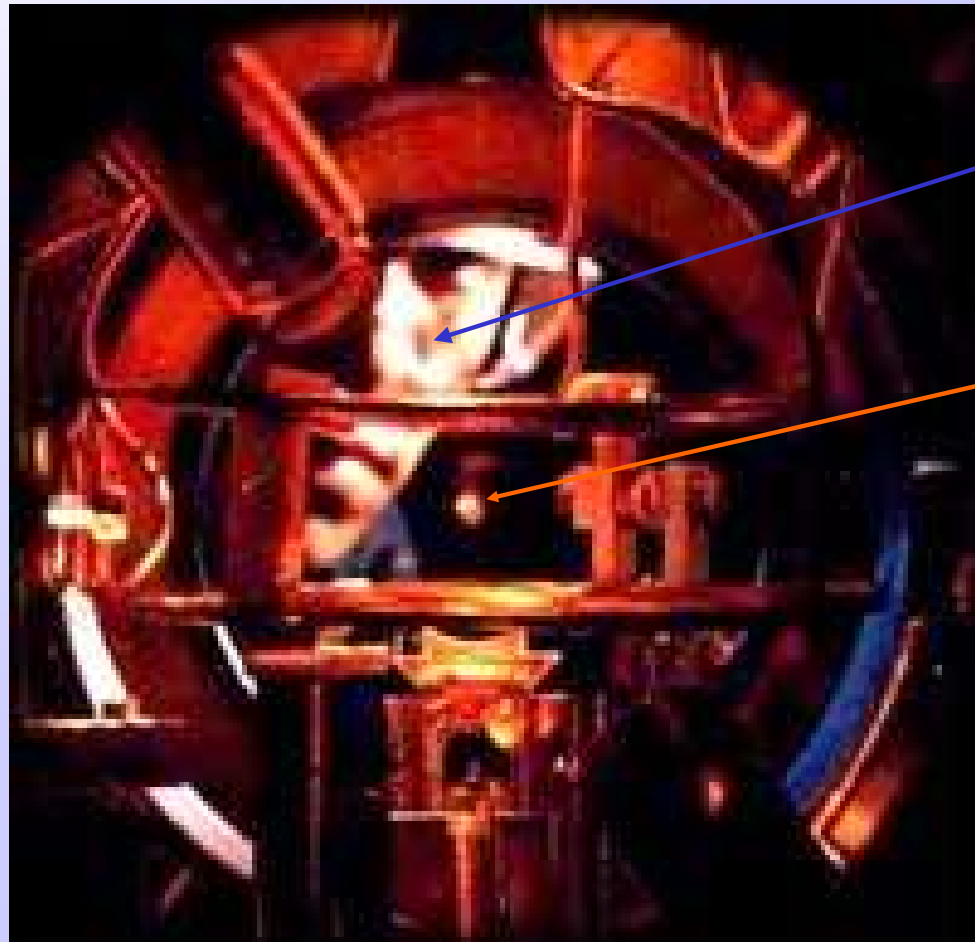
Dissipative: Spontaneous Scattering



Laser Cooling
Preparation and Readout



Fangen von Atomen mit Laserlicht: Magnetooptische Falle (MOT)



NIST

Kris Helmerson

$T > 300 \text{ K}$

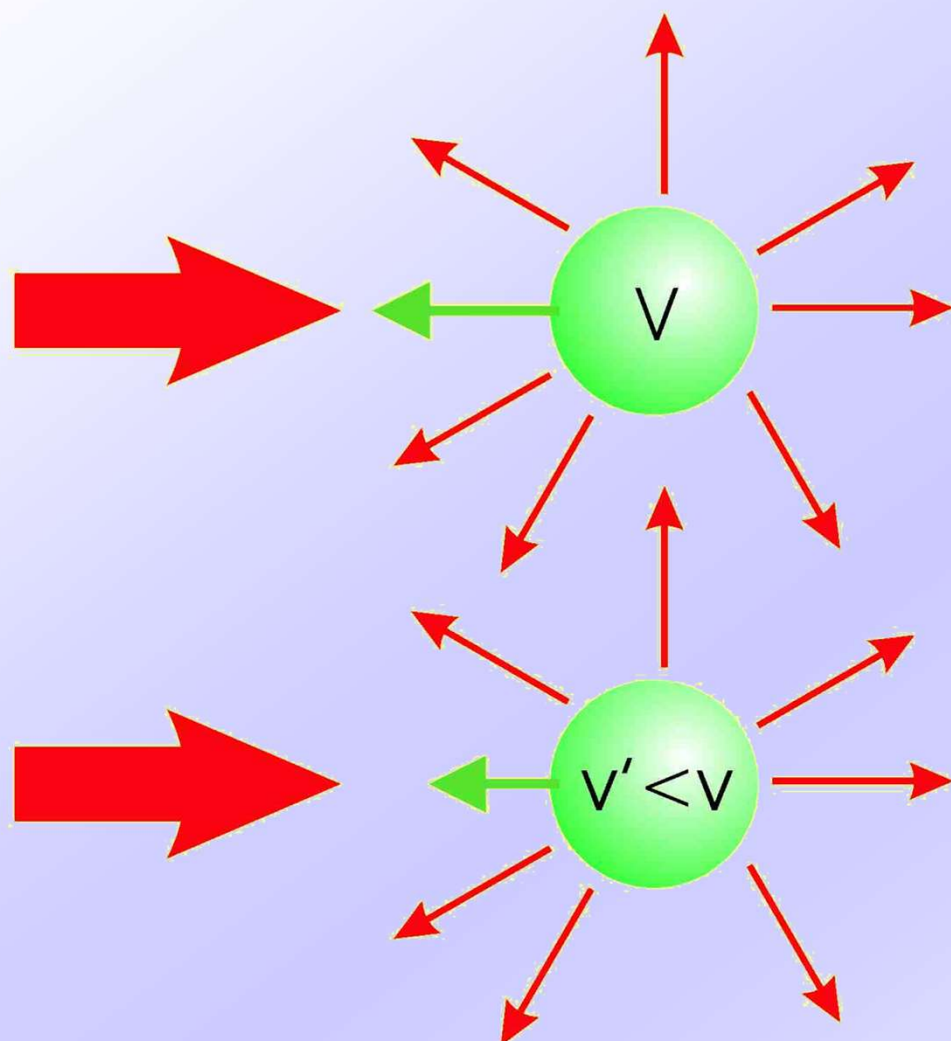
Natrium Atome

$T = 200 \mu\text{K}$

Niedrigste Temperatur
durch Laserkühlung

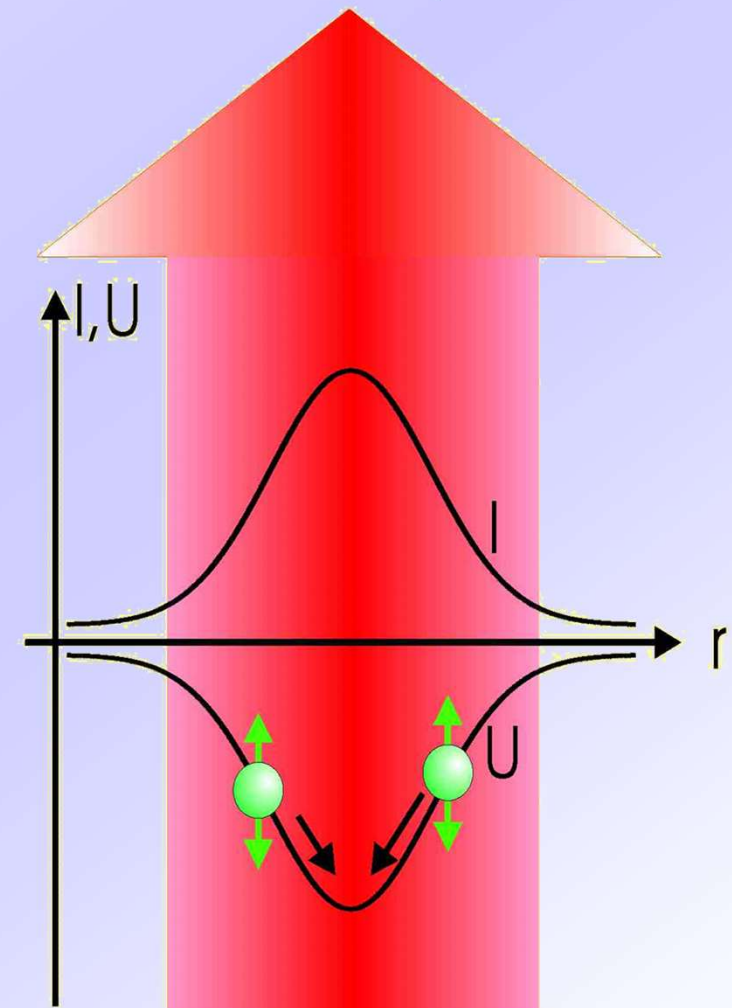
$T = 1 \mu\text{K}$

Dissipative: Spontaneous Scattering



Laser Cooling
Preparation and Readout

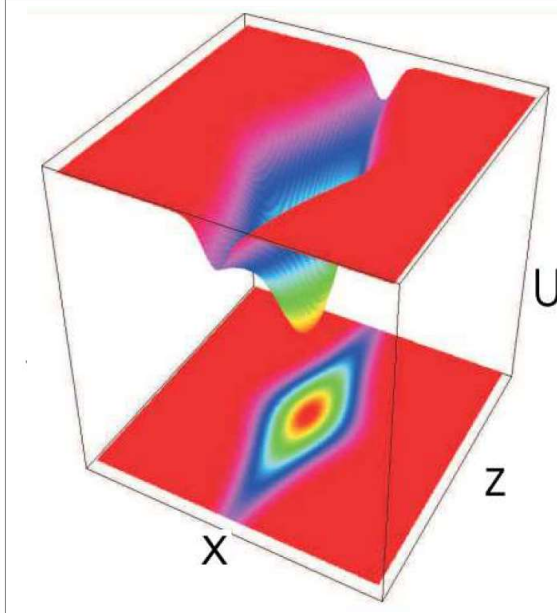
Conservative: Dipole Force



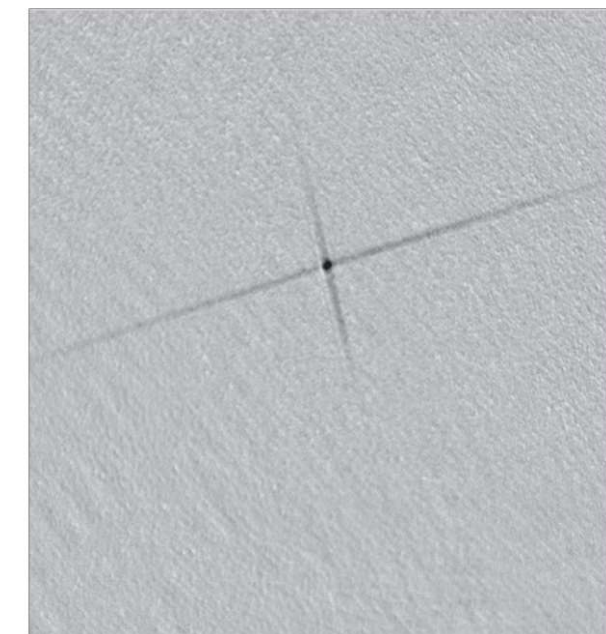
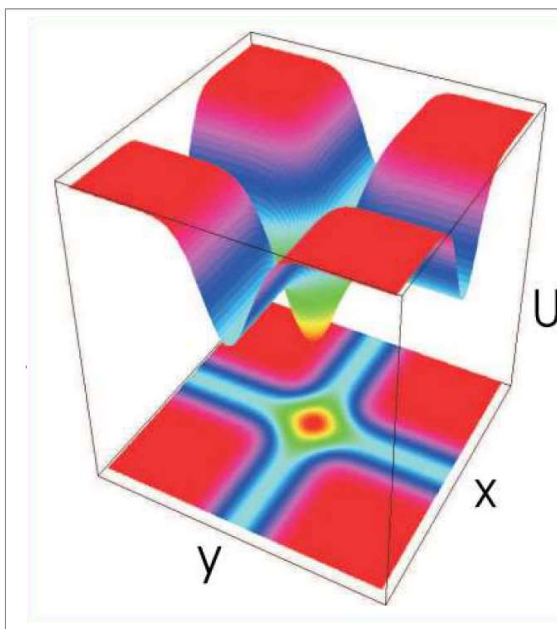
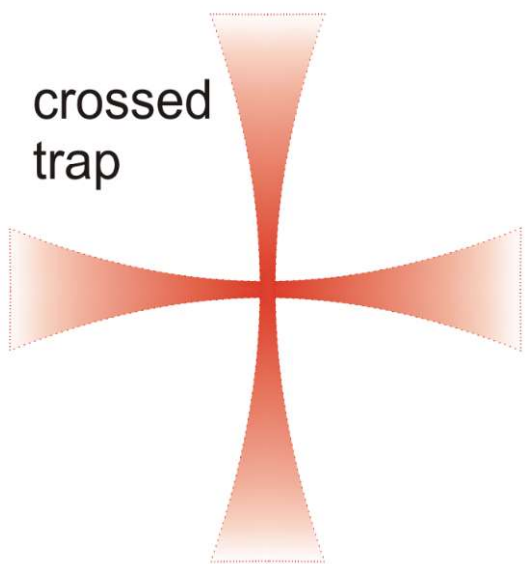
Dipole Traps

Trap Geometries

single beam trap

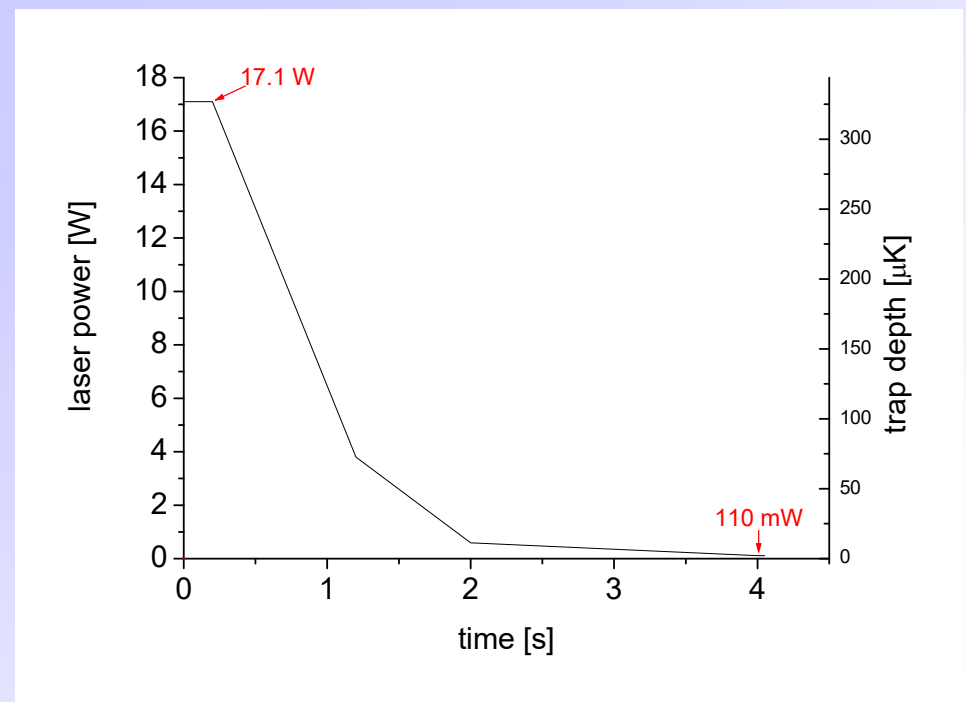
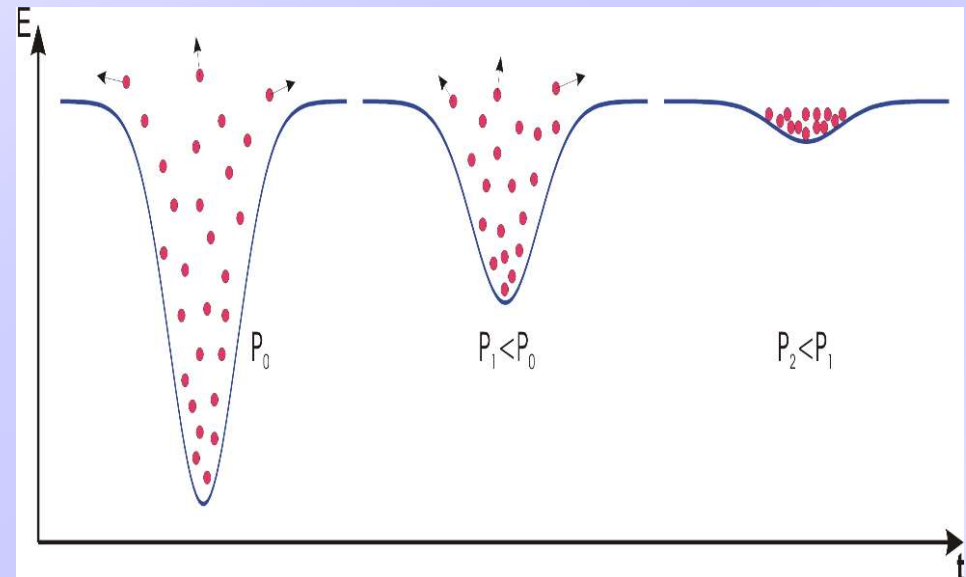


crossed trap

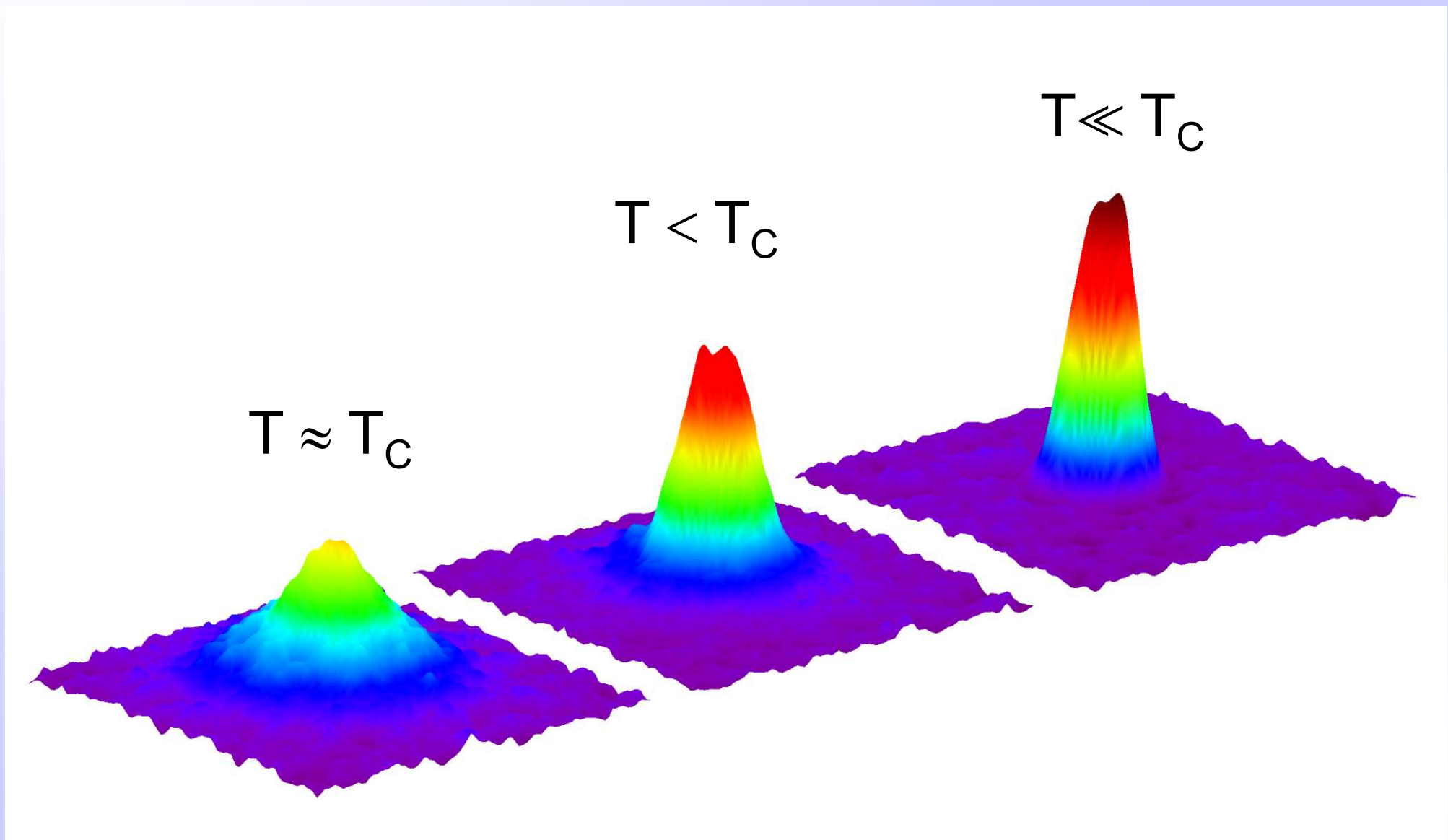


Evaporative Cooling

- start conditions:
 $5 \cdot 10^4 - 2 \cdot 10^5$ atoms in dipole trap @ 40 mK
- self-evaporation(~ 100 ms)
- three linear evaporation ramps (~ 500 - 3000 ms) :
 - independent optimisation of the ramp durations
- time-of-flight (TOF) absorption images

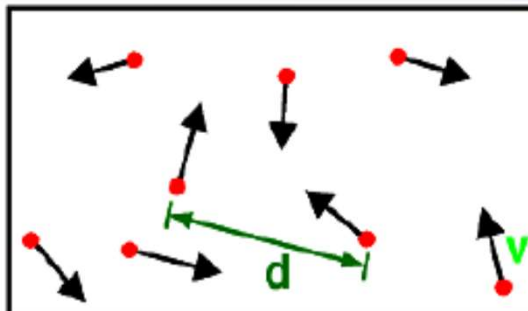


Bose-Einstein Condensation

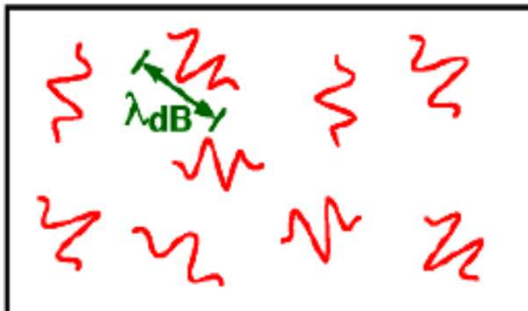


Bose-Einstein-Kondensat an der TU Darmstadt (www.iap.tu-darmstadt.de/apq)

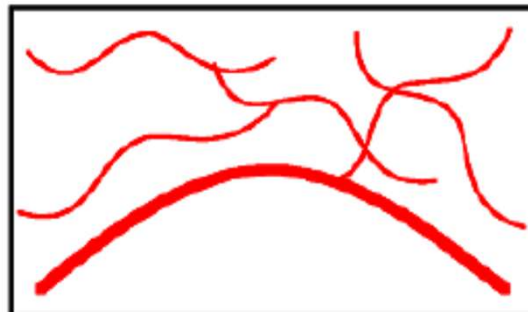
Bose-Einstein Condensation



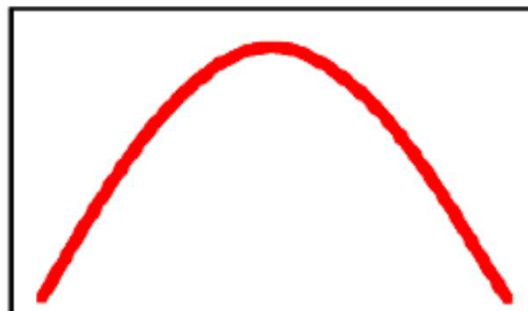
High Temperature T:
thermal velocity v
density d^{-3}
"Billiard balls"



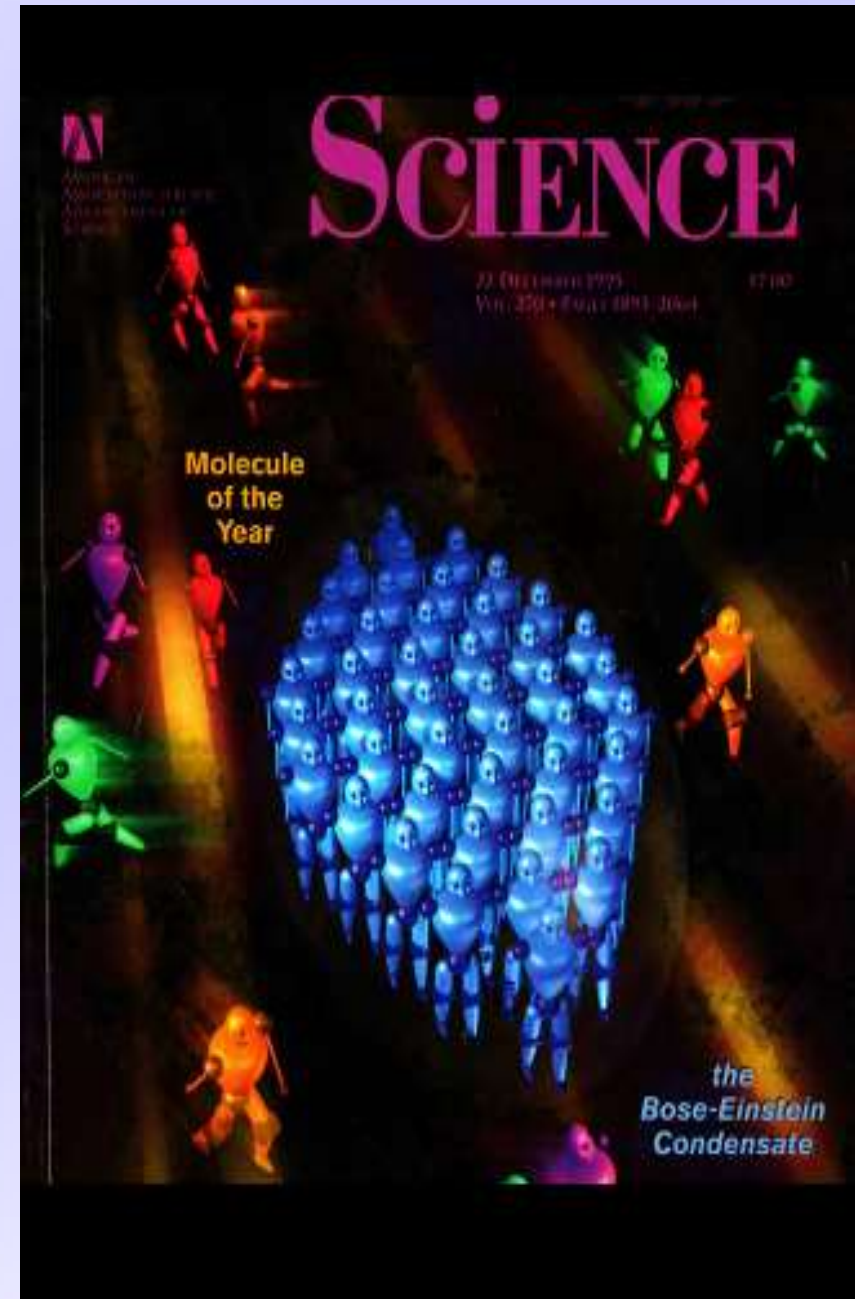
Low Temperature T:
De Broglie wavelength
 $\lambda_{dB} = h/mv \propto T^{-1/2}$
"Wave packets"



$T=T_{crit}$:
Bose-Einstein
Condensation
 $\lambda_{dB} \approx d$
"Matter wave overlap"

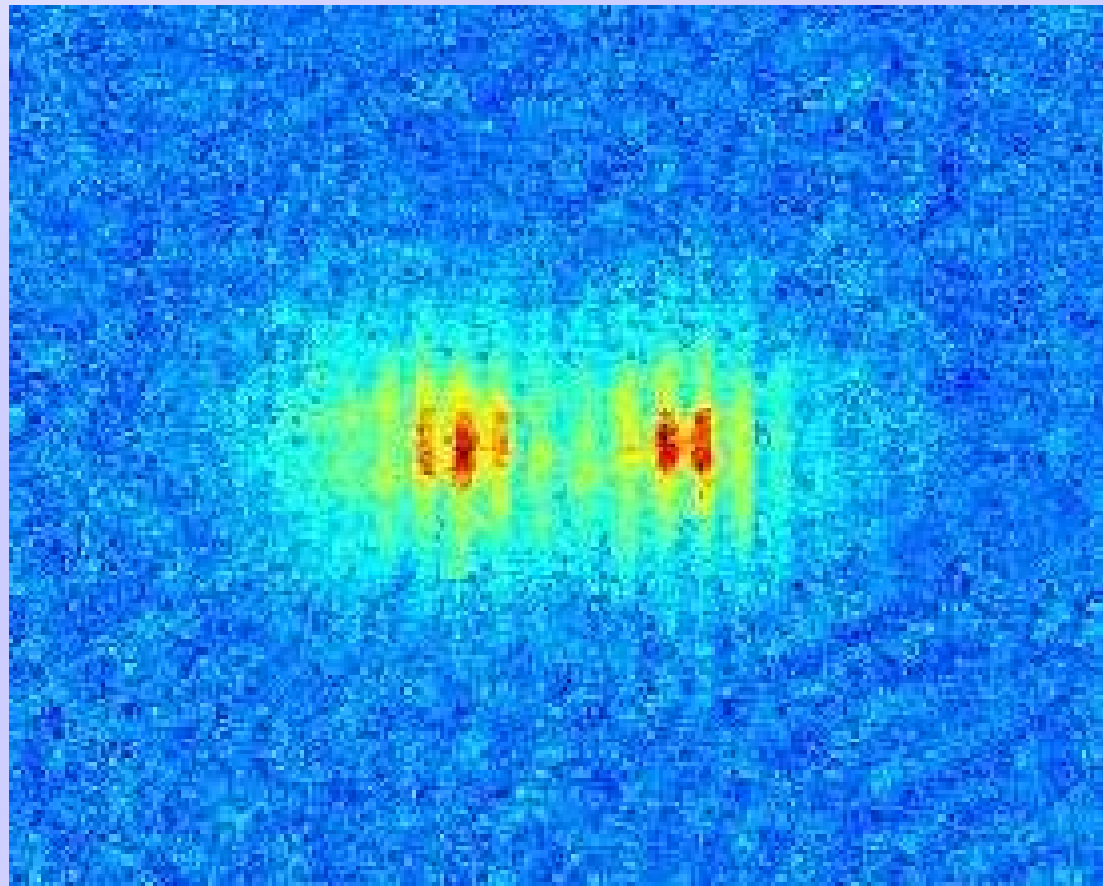
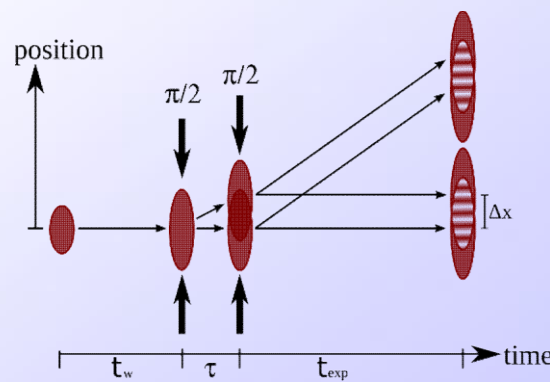


$T=0$:
Pure Bose
condensate
"Giant matter wave"



Interference of two Bose-Einstein Condensation

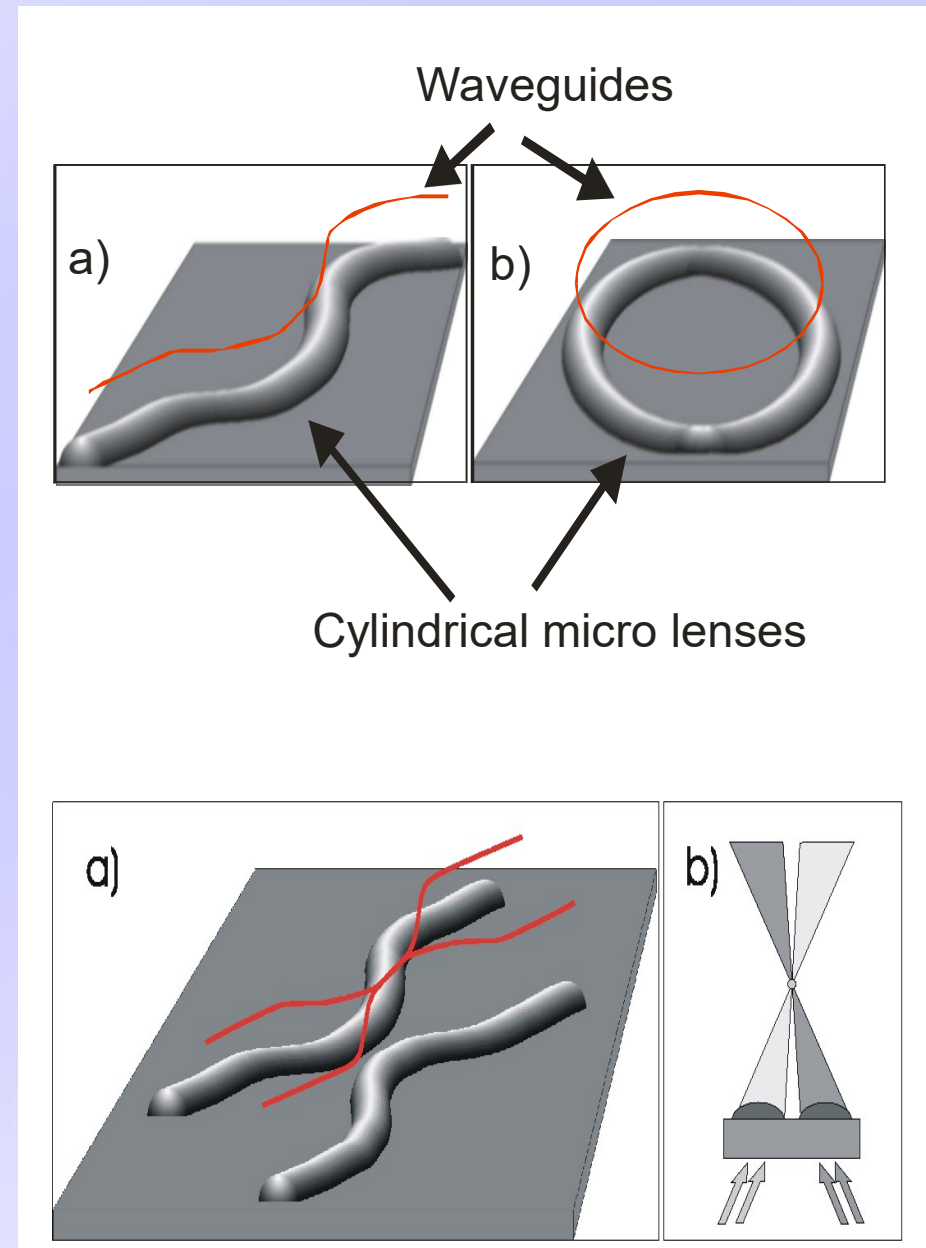
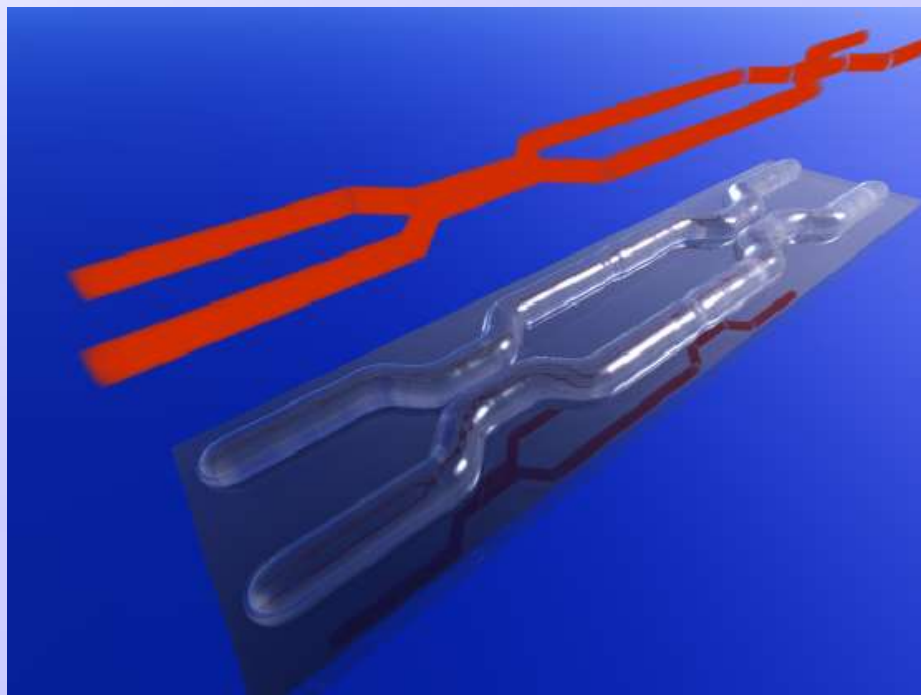
Two superimposed BECs show interference.



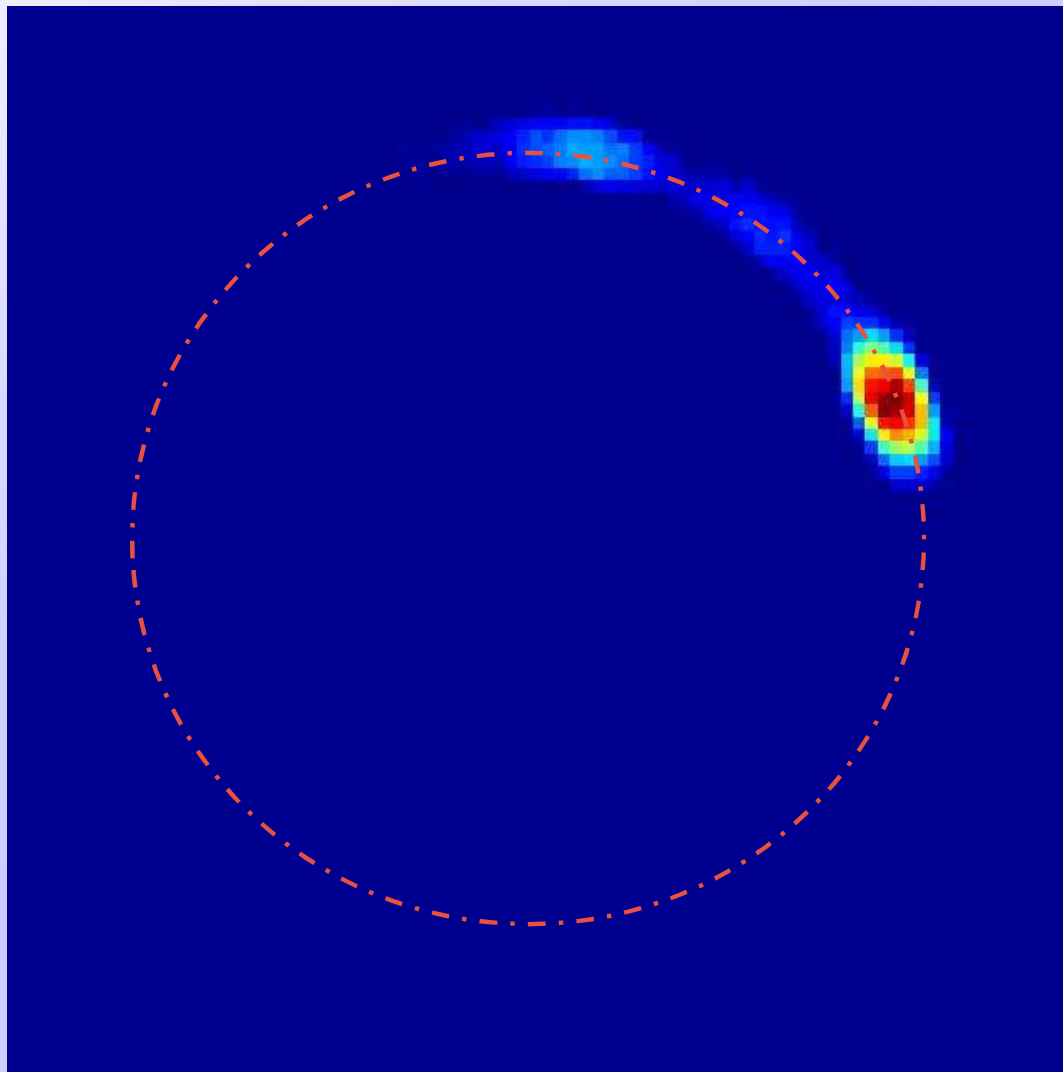
Bose-Einstein condensates behave like waves.

Matter wave optics in optimized and complex micro- and nano-structures

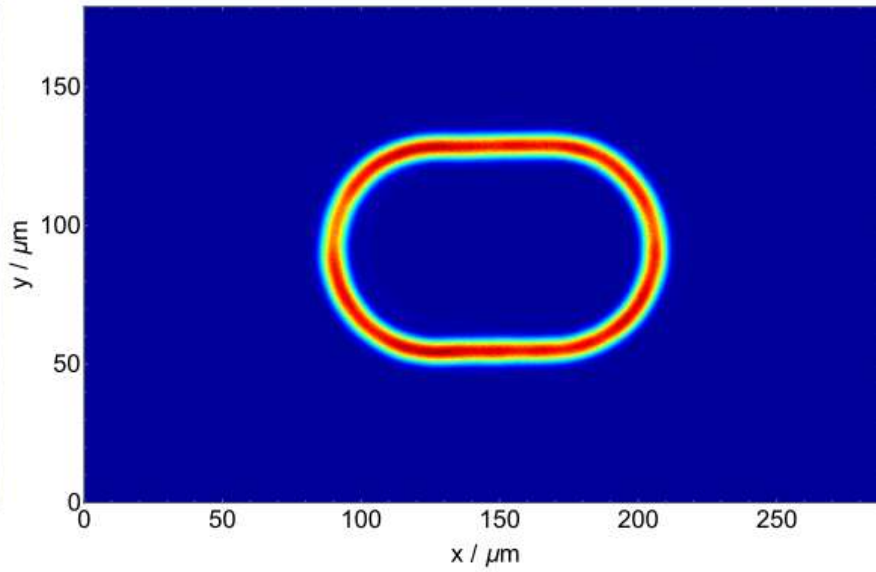
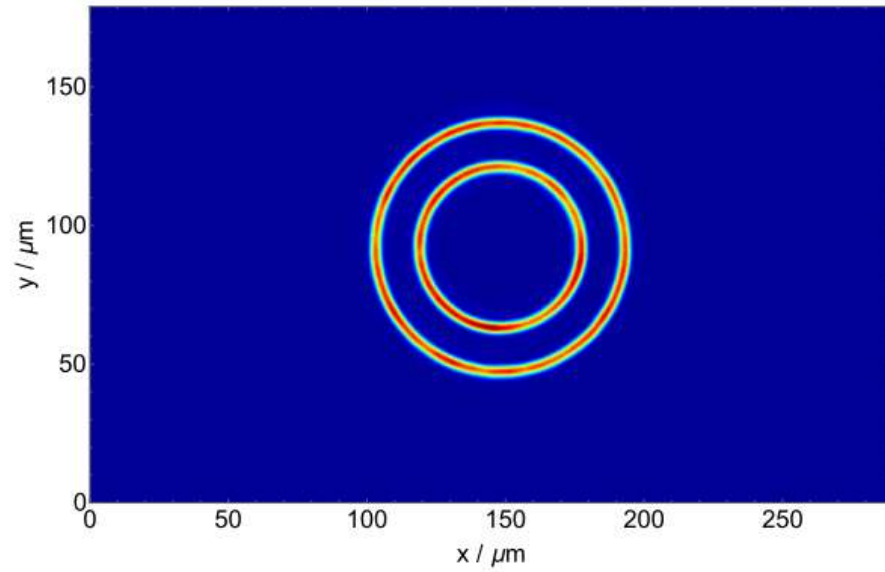
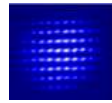
- Compact atom interferometer geometries as quantum sensors
- Resonator for atomic matter waves



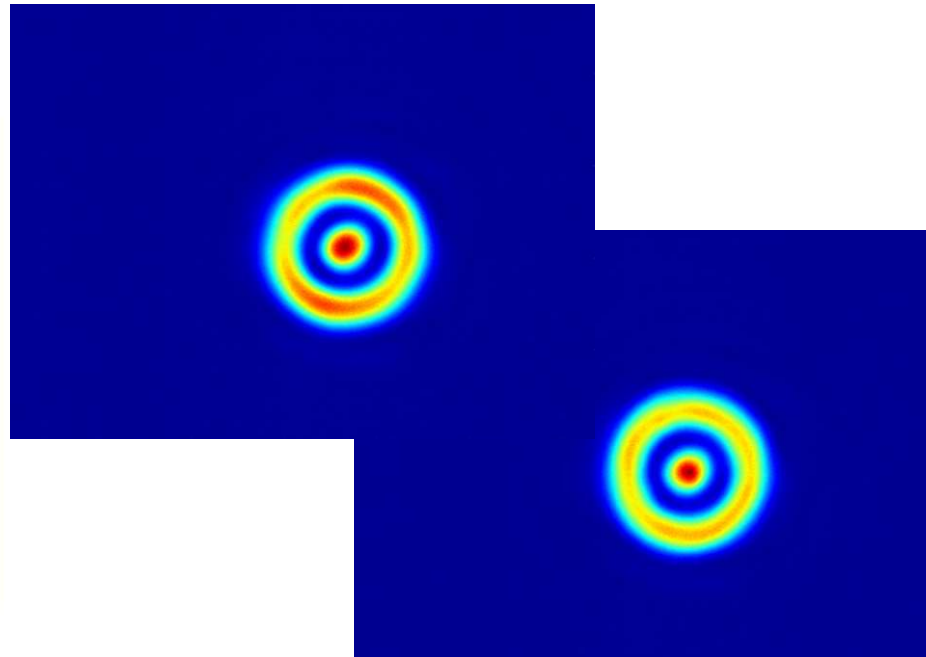
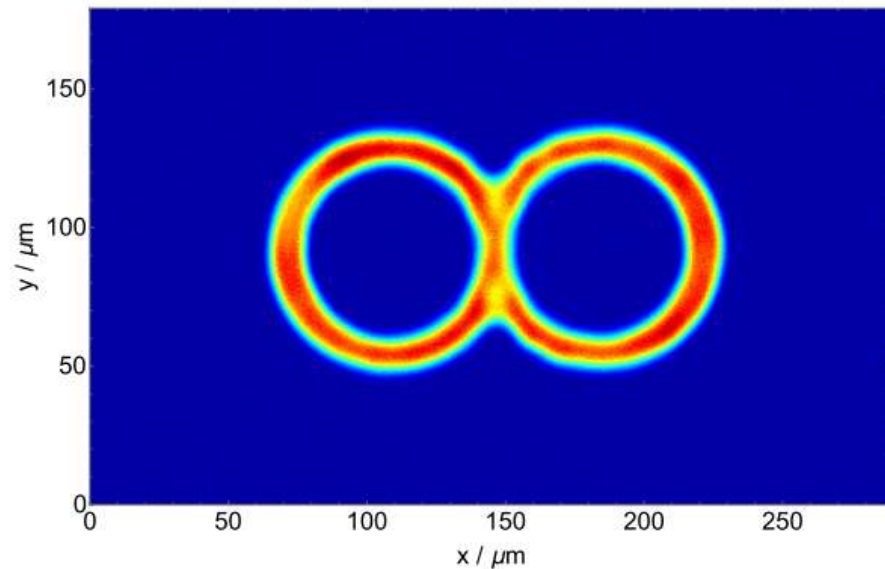
Bose-Einstein Condensate in a Storage Ring



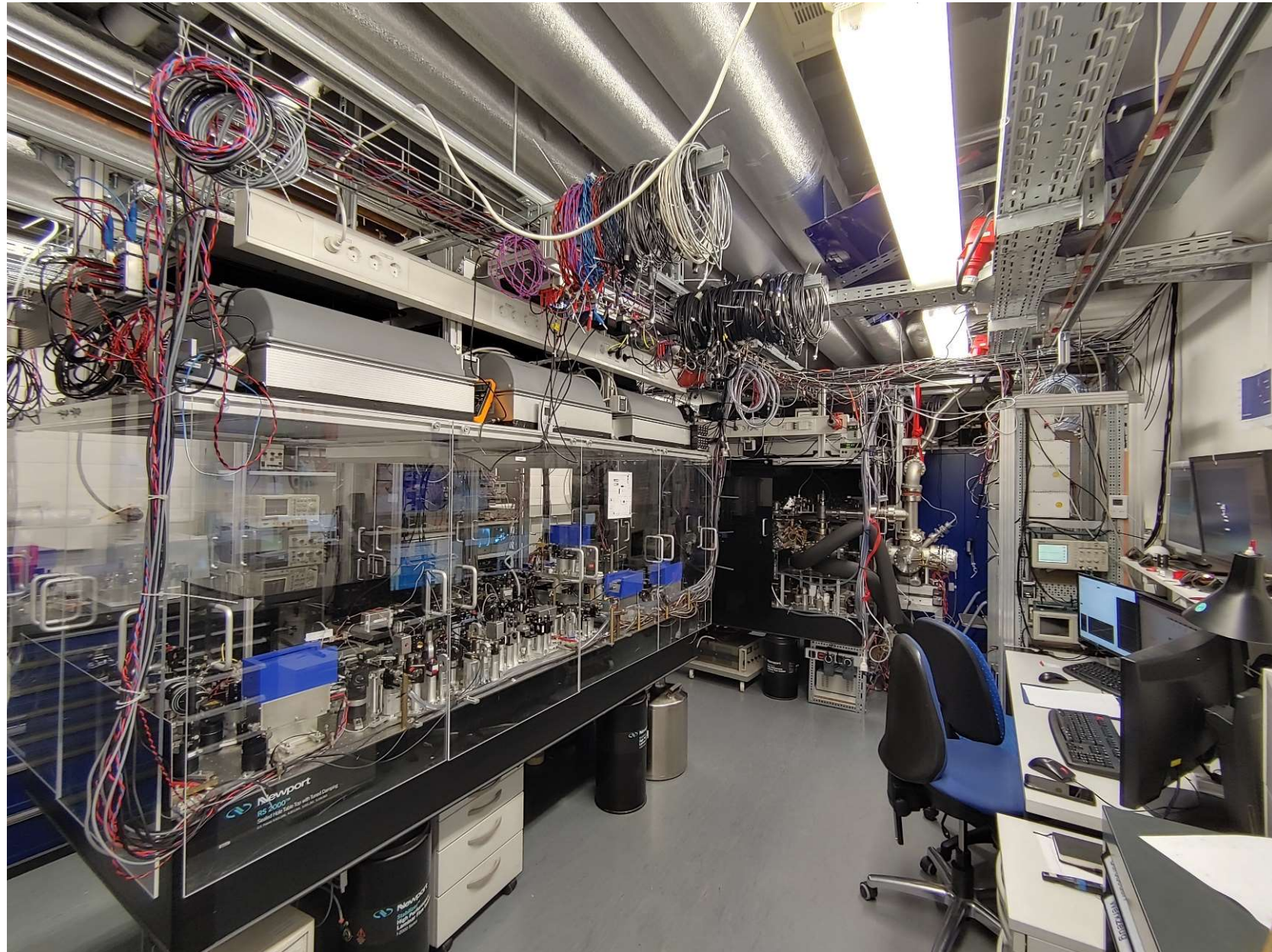
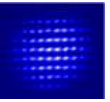
DMD-based Dipole Potentials for Integrated Atom Optics



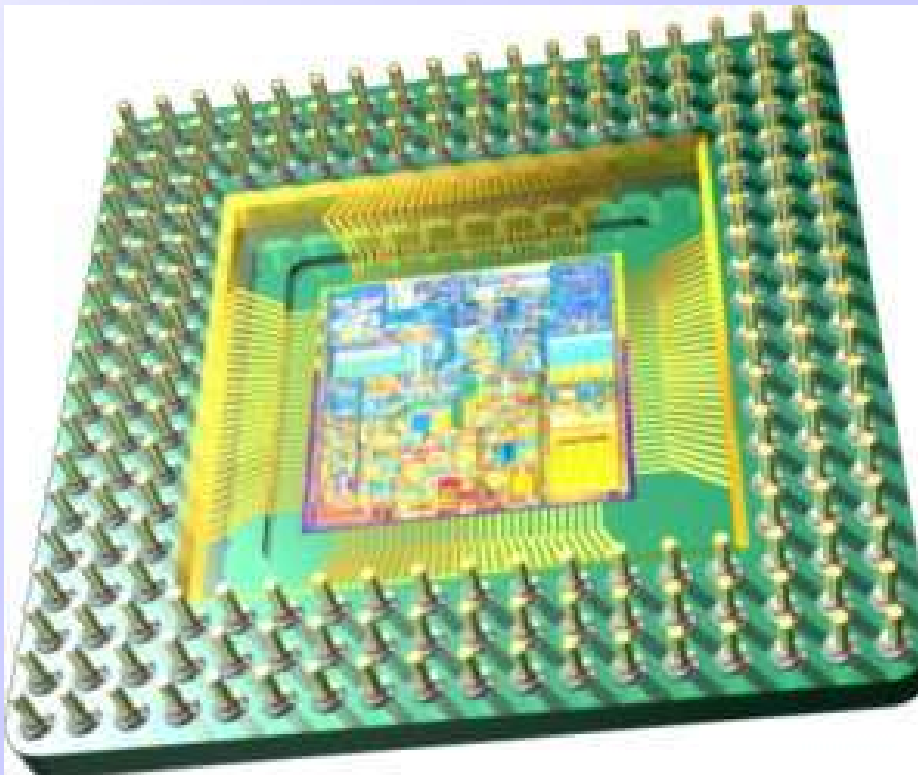
c)



ATOMTRONICS – Lab Visit

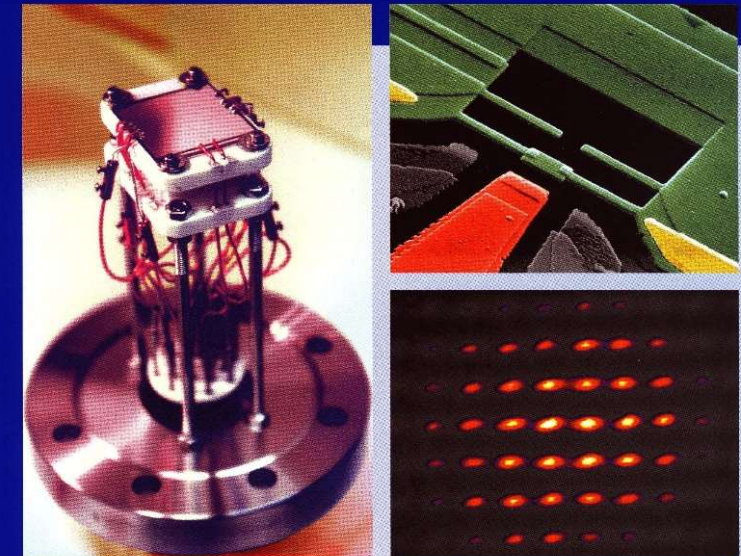


Using the characteristics
of quantum mechanics
gives rise to completely
new ways for information
processing



Physik Journal

November 2005
4. Jahrgang
www.physik-journal.de



Schwerpunkt Quanteninformation
Industrieforschung im Wandel
DPG-Praktikumsbörsen

Φ Deutsche Physikalische Gesellschaft

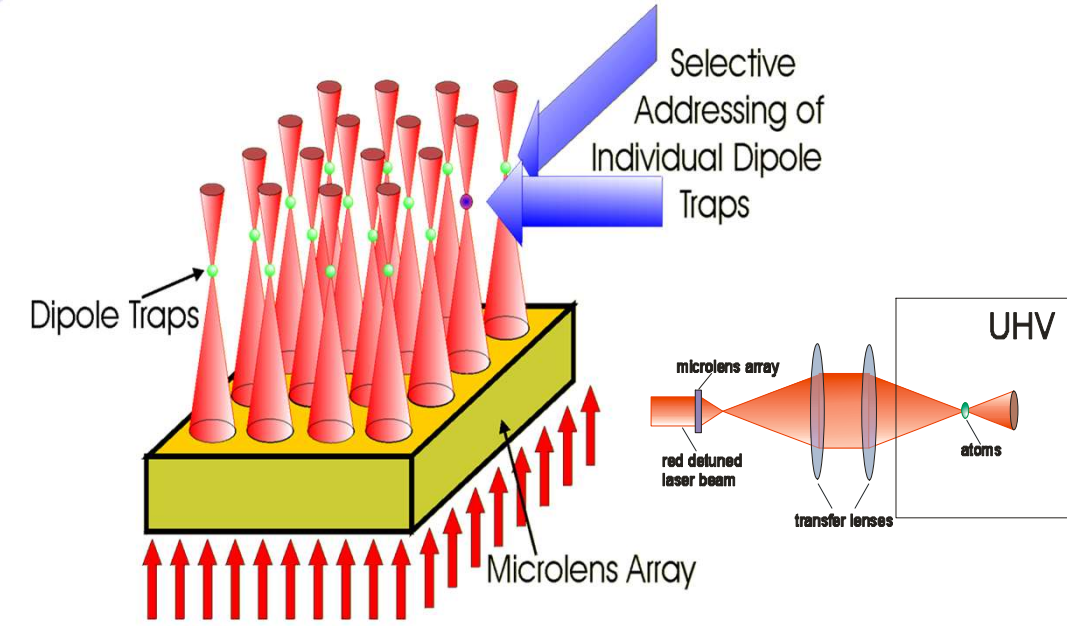
Scalable Register for Atomic Qubits

Multiple realization of dipole traps by focusing a (far) red-detuned laser beam with a microlens array

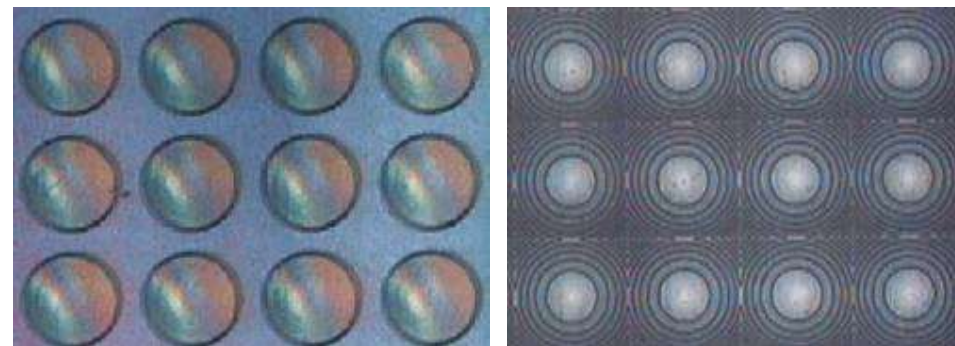
Very tight foci due to high numerical aperture possible

Sufficiently low rate of spontaneous emission

Individual dipole traps can be selectively addressed due to large separation of the microlenses (typically 125 μm)



Refractive und diffractive Mikrolinsen



Atoms in far detuned dipole trap arrays can serve as a two-dimensional register for qubits:

Number of traps > 80

Parameter for dipole trap array:

P = 1 mW per Trap

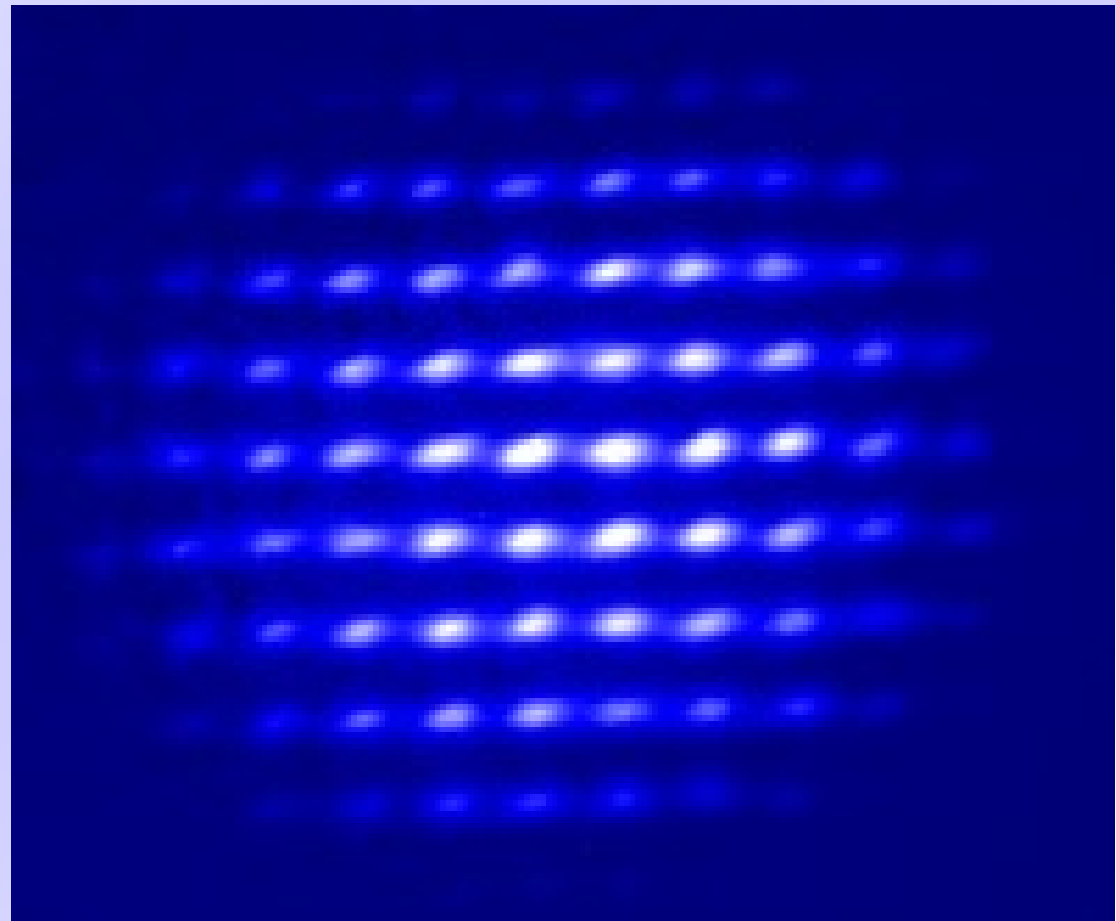
Trap size $w_0=7\mu\text{m}$

Trap depth 1 mK

Temperature 20 μK

Atoms per trap 100-1000

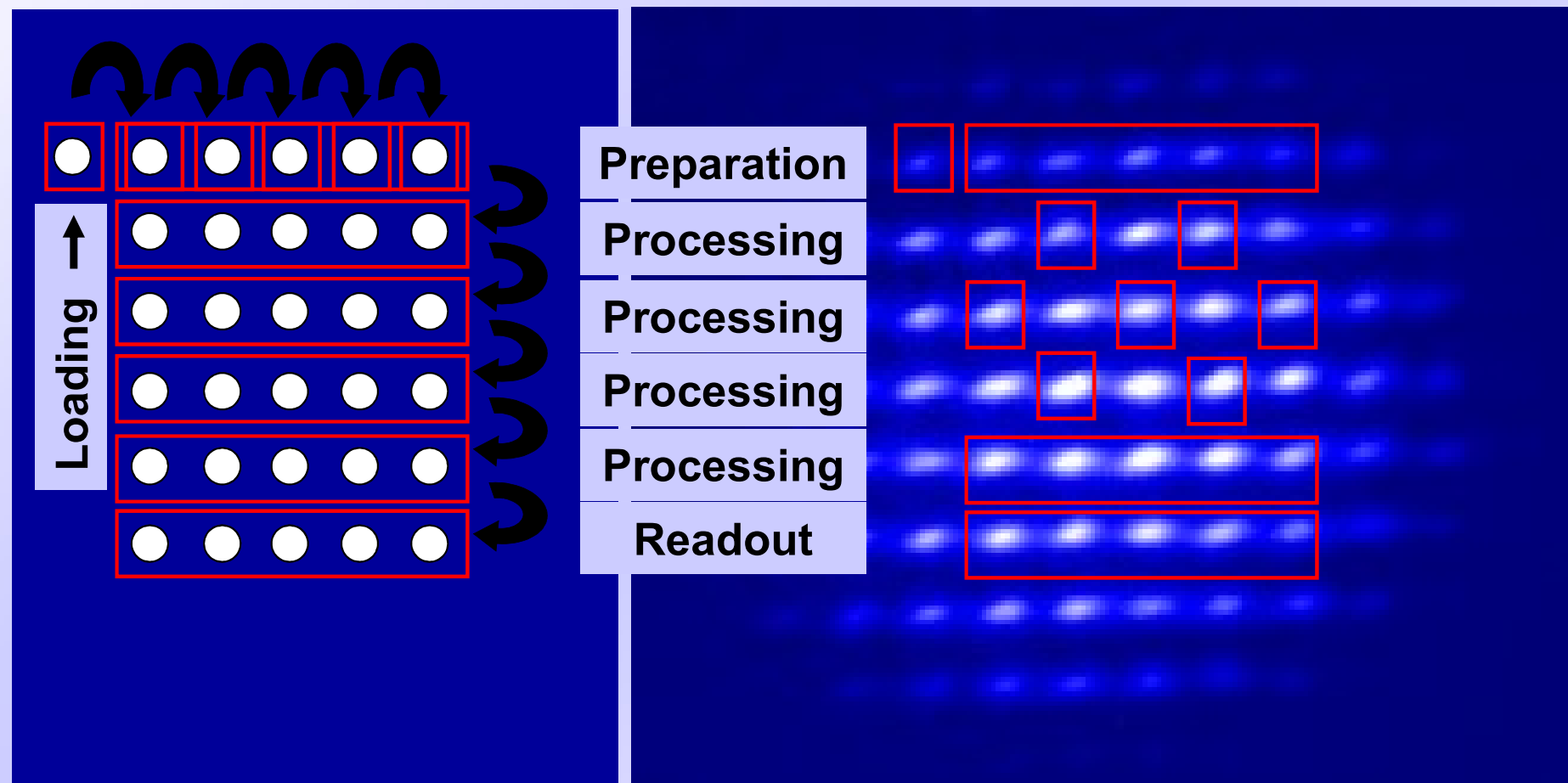
Lifetime up to 2 s
(depending on detuning)



R. Dumke, M. Volk, T. Müther, F.B.J. Buchkremer, G. Birkl, and W. Ertmer,
Phys. Rev. Lett. **89**, 097903 (2002).

Complex Architectures for a Quantum Processor

Complex processor architecture based on quantum shift register with spatially separated loading and processing units



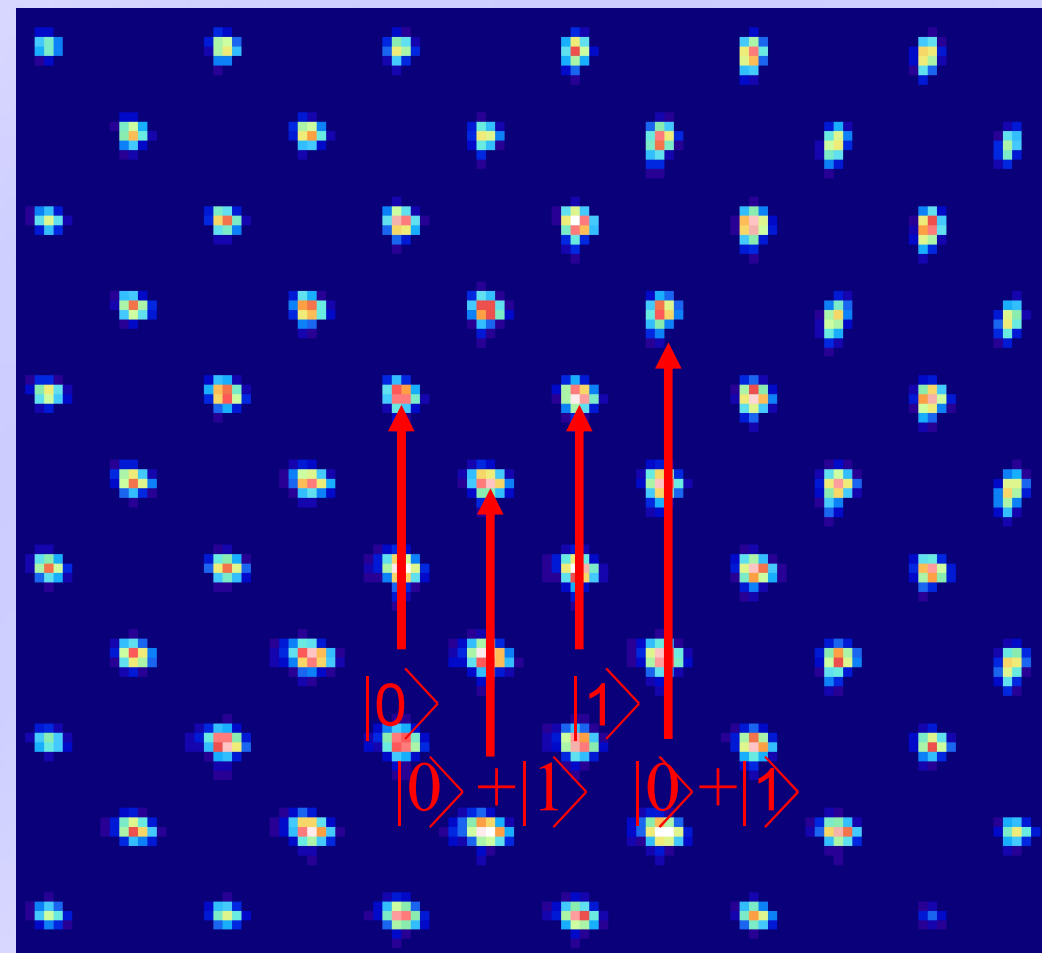
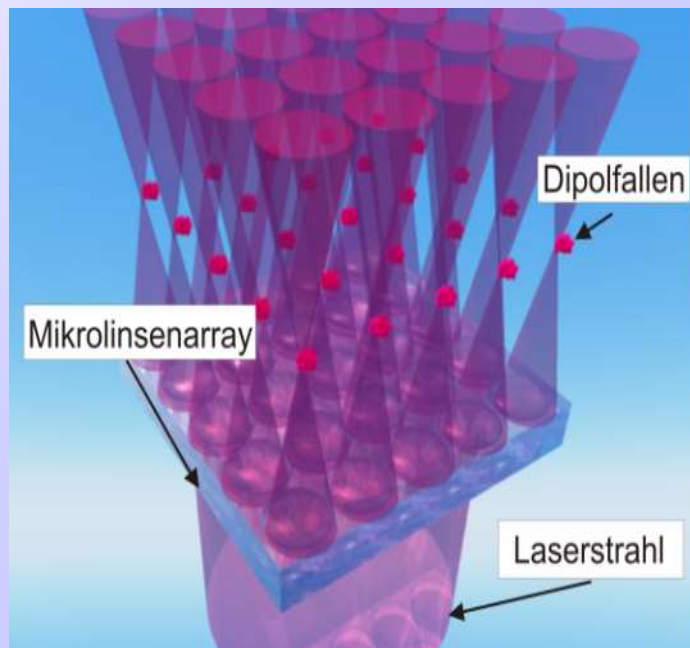
Two-Dimensional Register for Quantum States

Multiple realisation of individually controllable **quantum systems** serve as random access memory for quantum bits

Goal: Quanten Computer

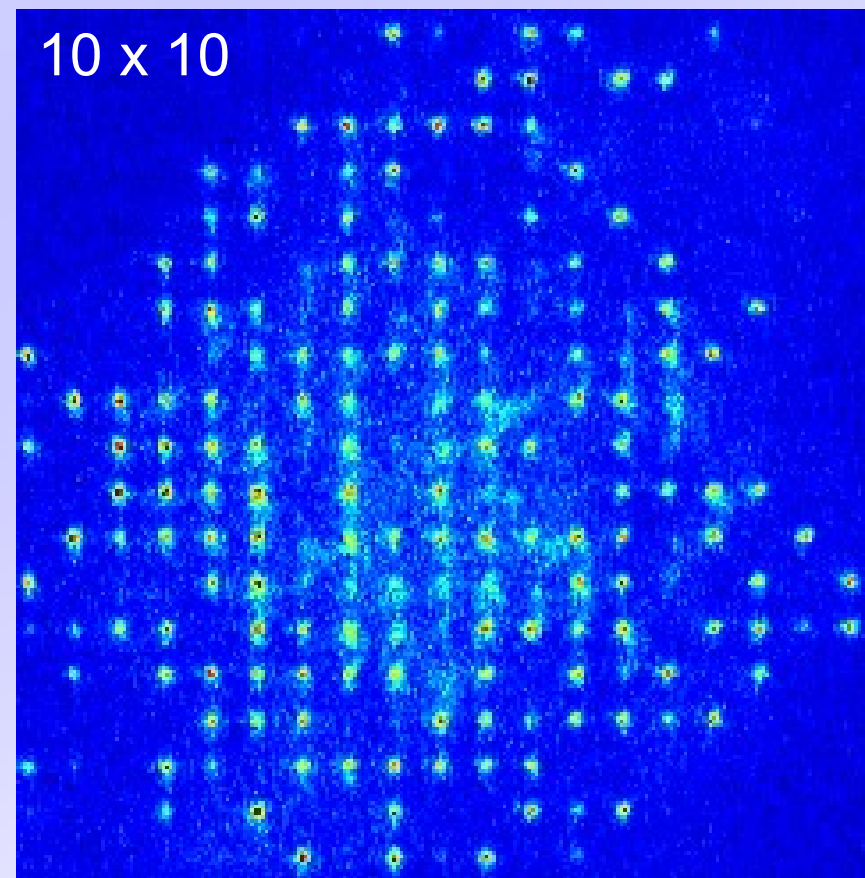
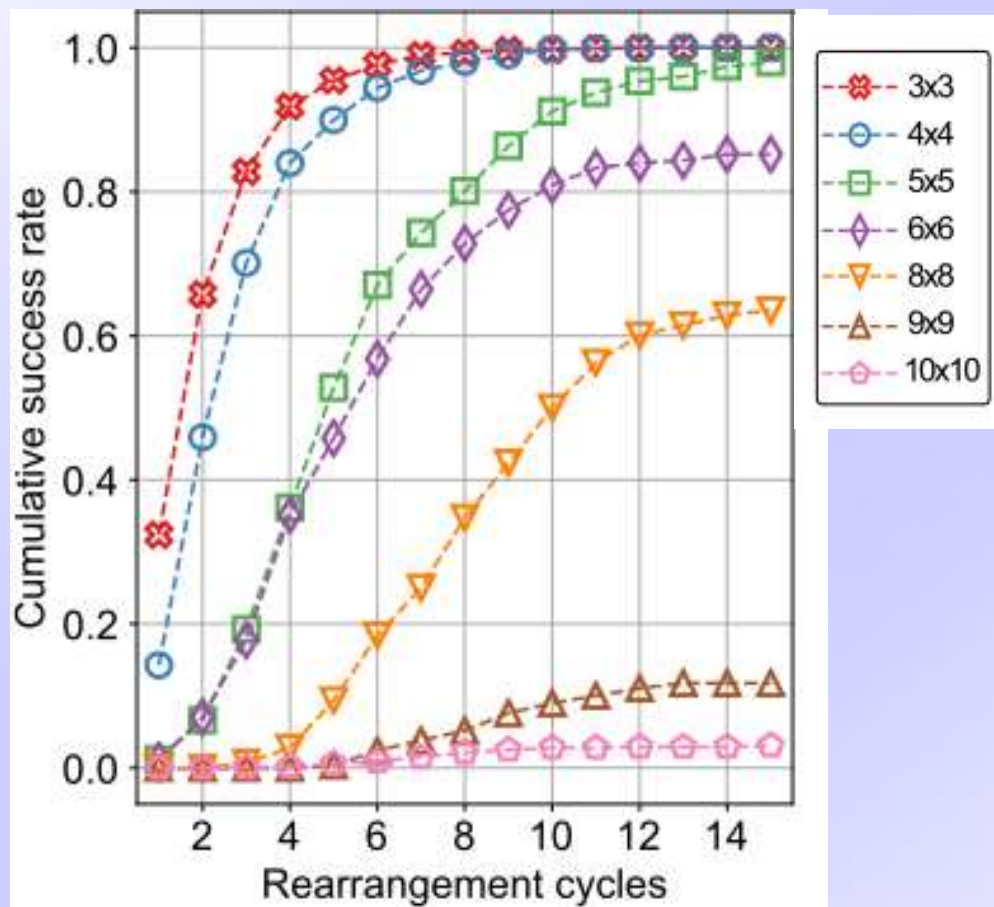
Example: Quantum Memory

Addressing of each memory site is possible.



Defect-Free Large-Scale Single Atom Clusters

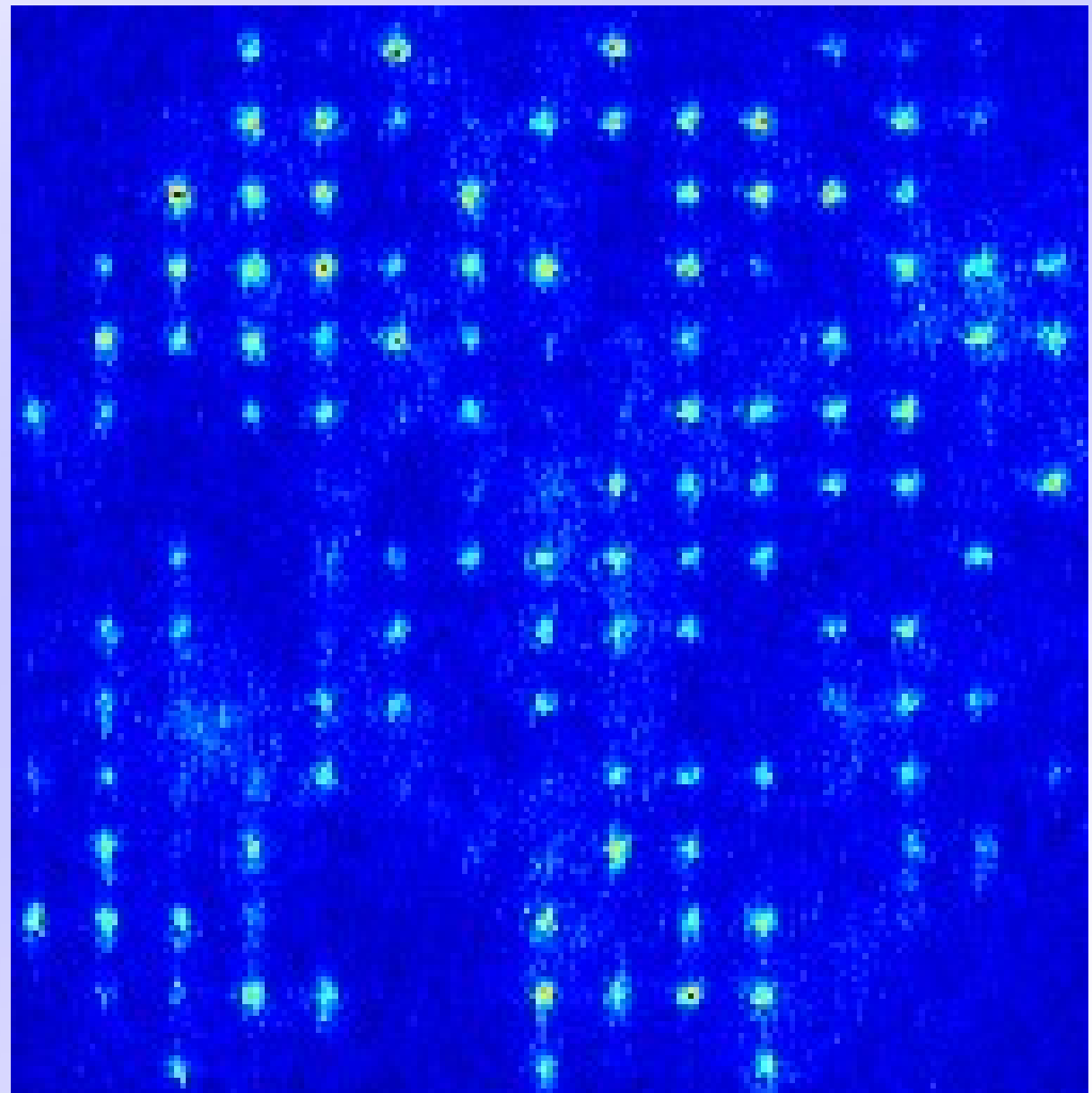
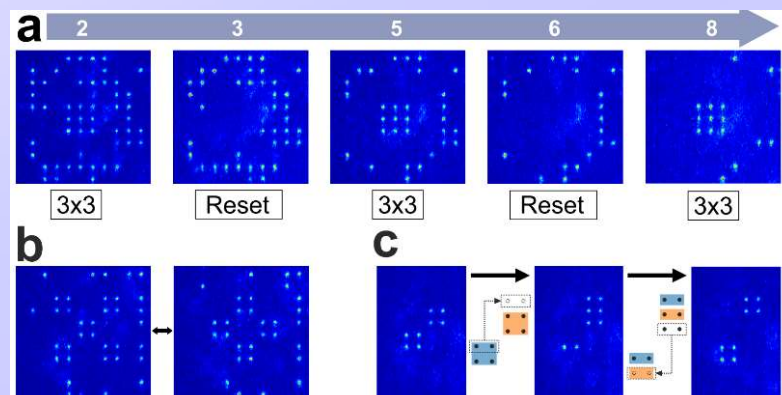
- Deterministic assembly of defect-free target structures
- Atom rearrangement using real time feedback loop
- Enhanced success rate via multiple rearrangement cycles
- Extended lifetime and repeated re-creation of target structure



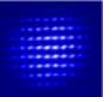
Multiple Rearrangements

- Stabilization and repeated reconstruction of target structures
- Up to 80 rearrangement cycles implemented
- For 5x5 target structure: defect-free cluster achieved in 49(13) frames out of 80

Repeated structure buildup & atom redistribution

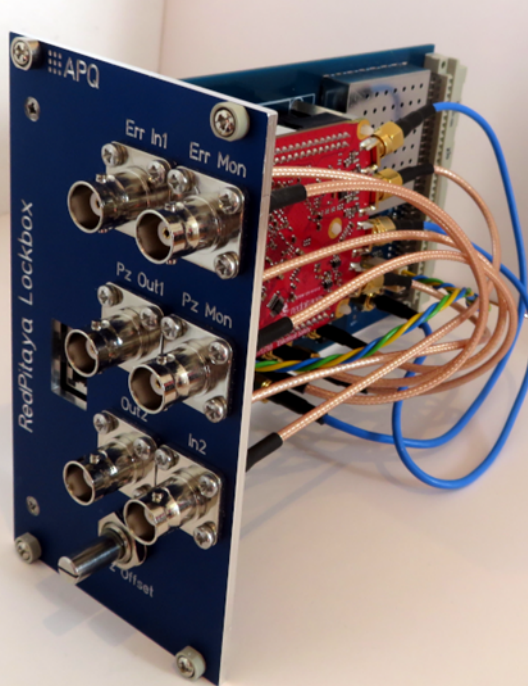


State-of-the-Art Lasers, Electronics, & Software

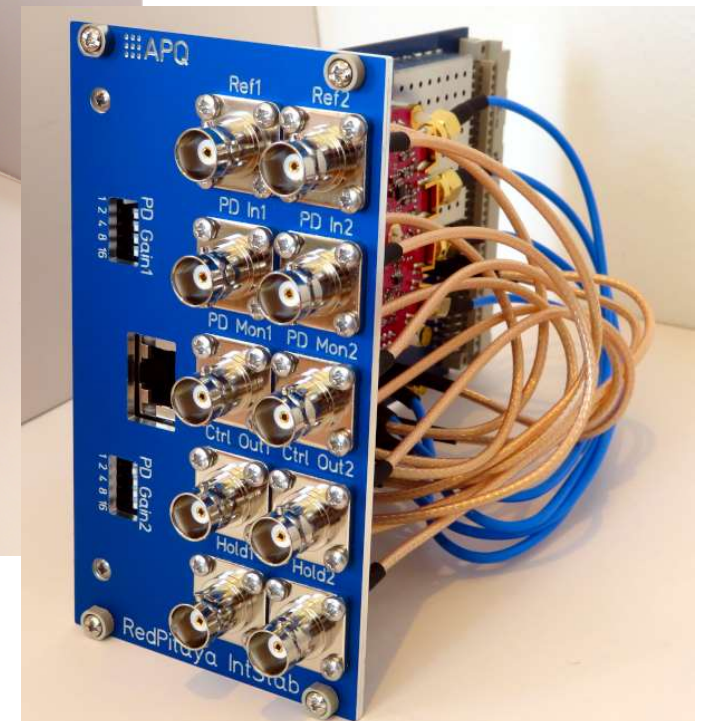


Ultra-stable Digital
Laser Current Driver

Red Pitaya (STEMlab)
Digital Lock Box

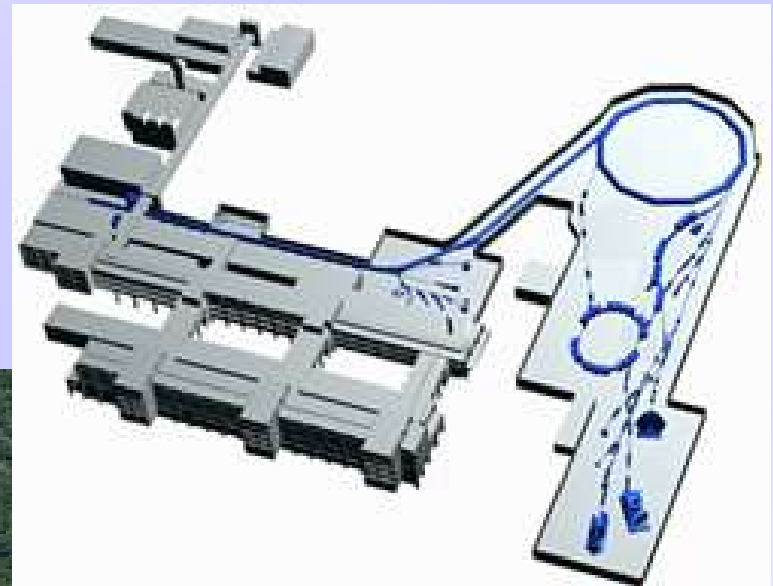


Red Pitaya (STEMlab)
Intensity Stabilization



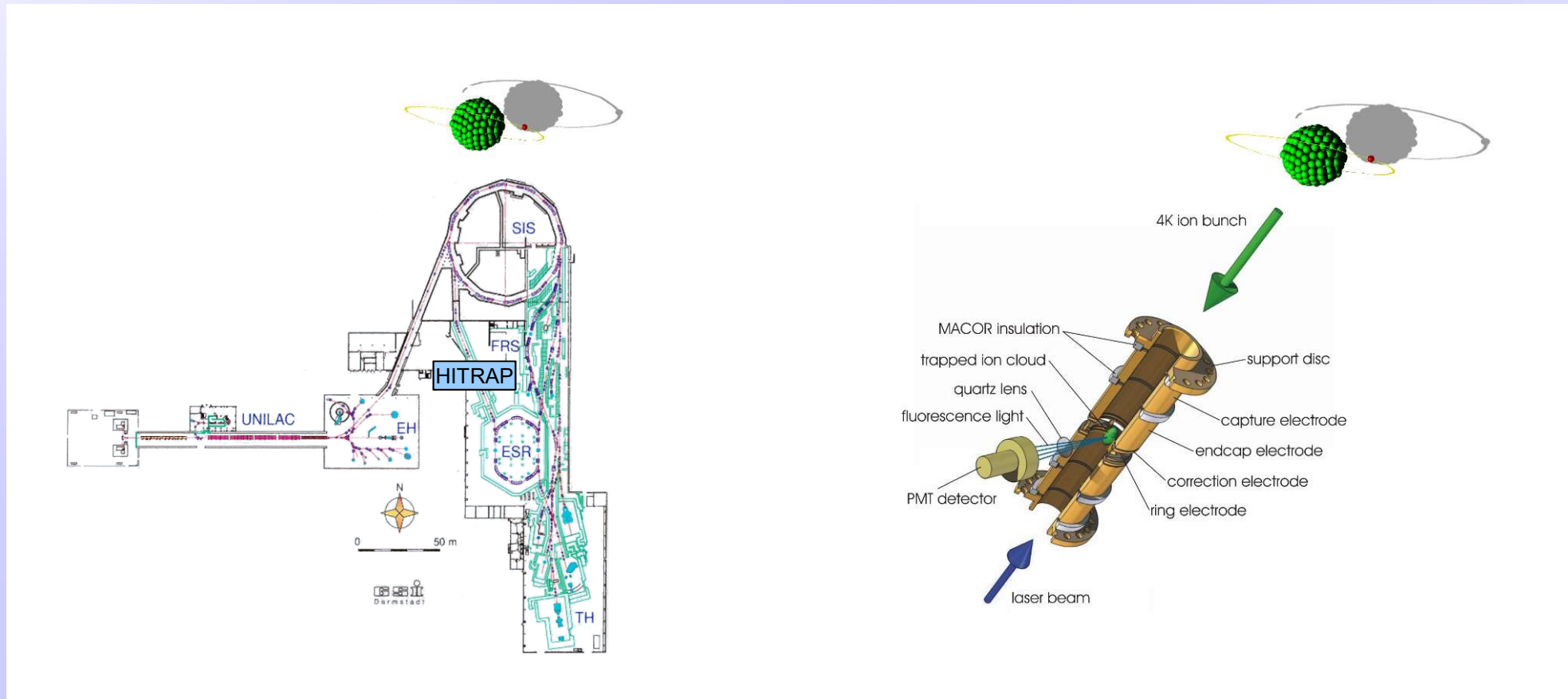
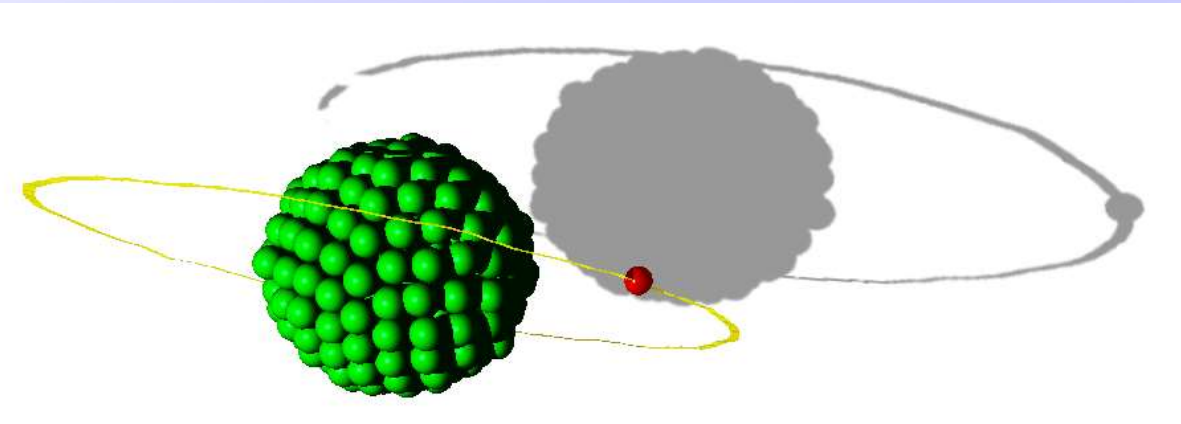
T. Preuschoff, M. Schlosser, G. Birk
Rev. Sci. Instr. **91**, 083001 (2020)

Laser Spectroscopy of Highly Charged Ions at GSI and FAIR

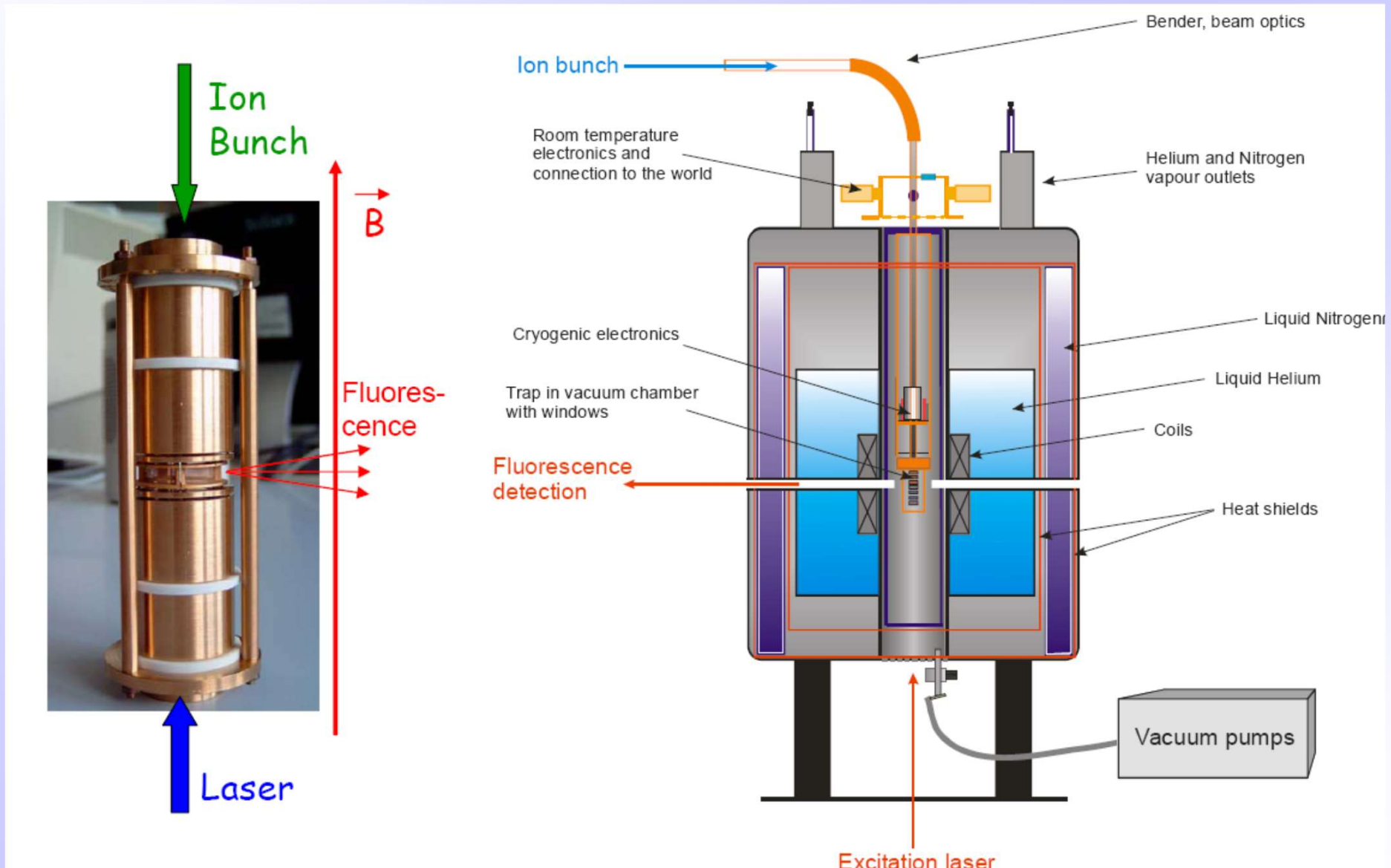


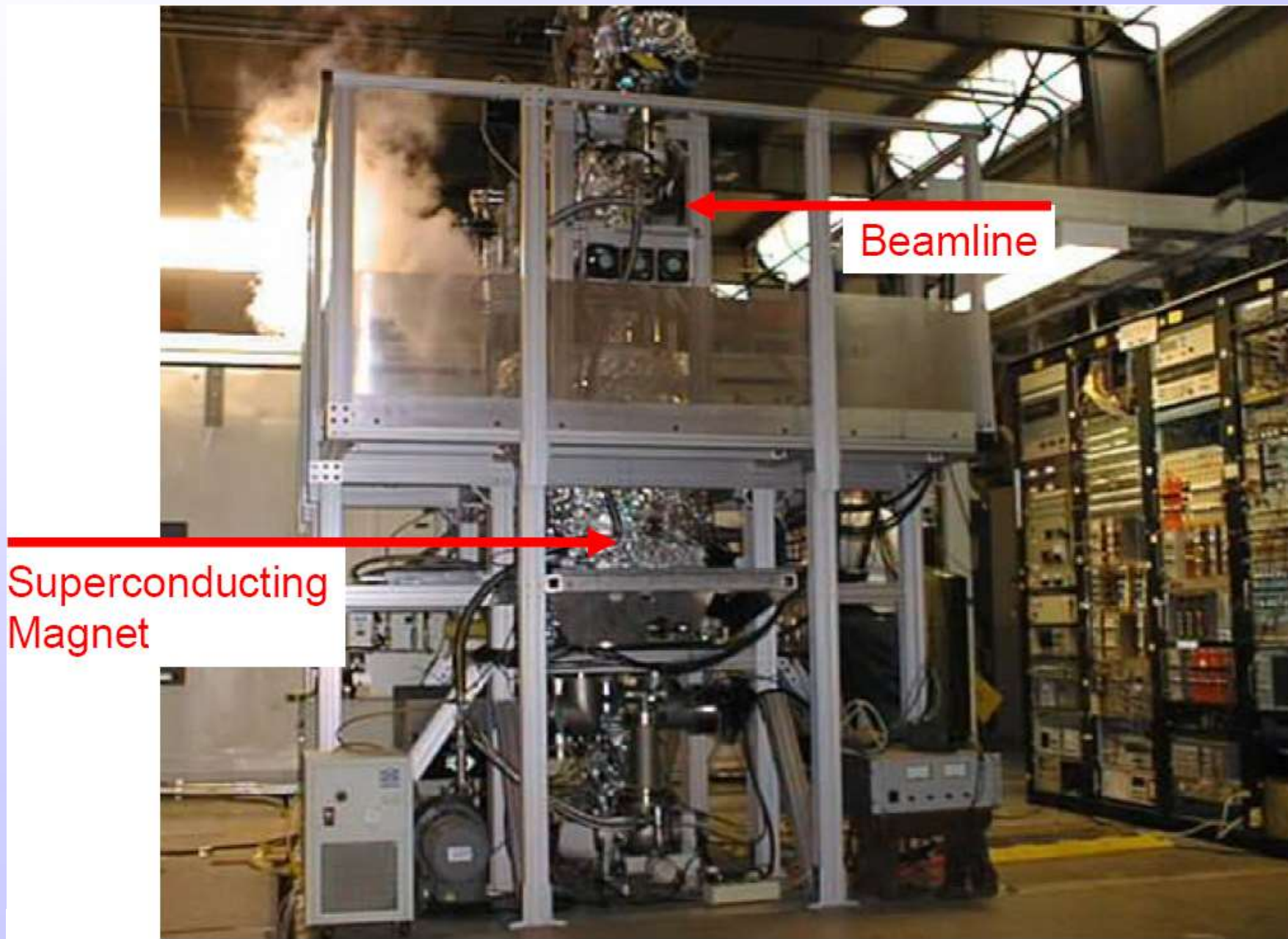
Quantum Electrodynamics (QED) in Highly-Charged Ions

Tests of QED in
strong electric fields
generated by highly
ionized heavy ions

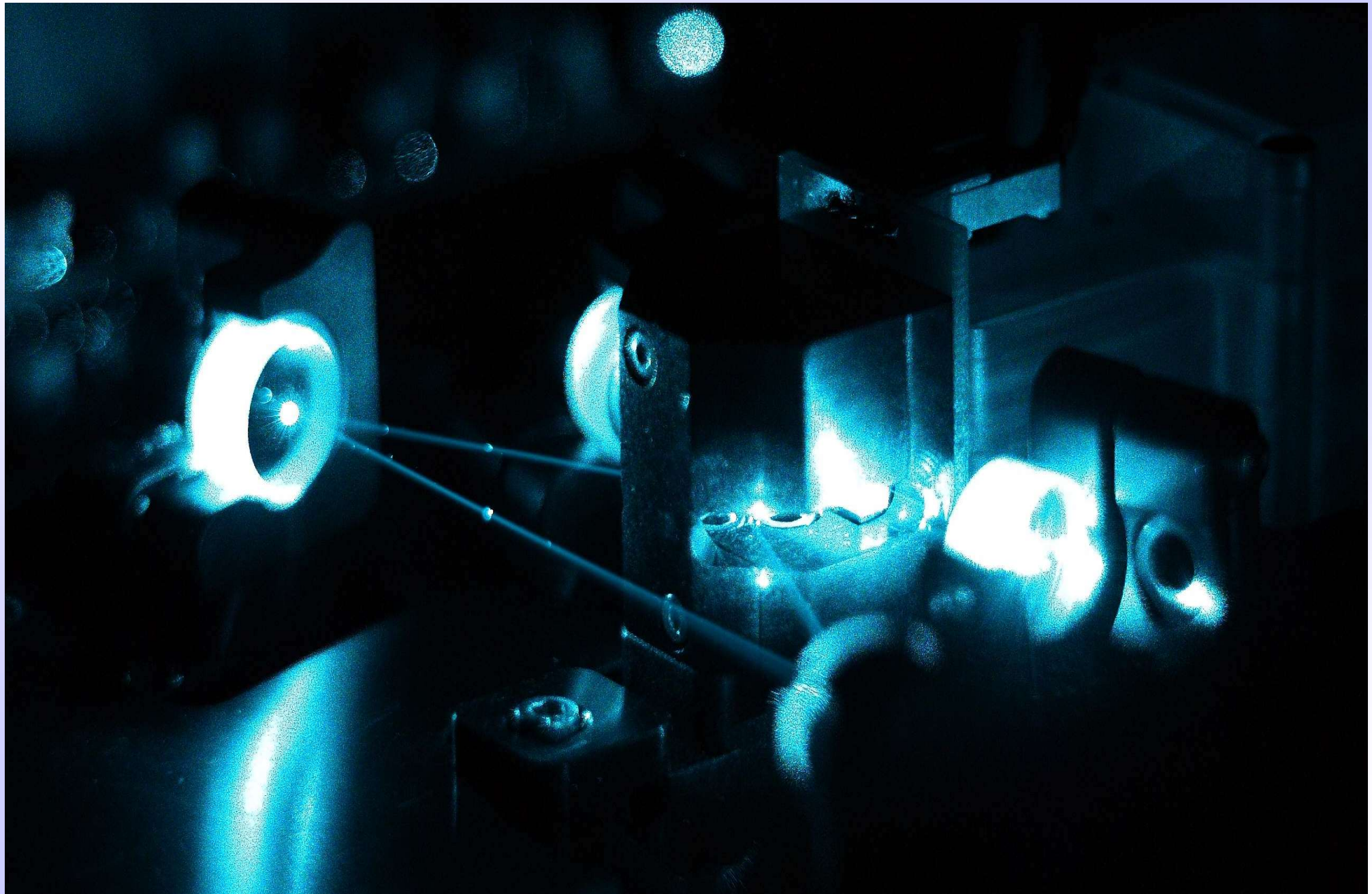


Traps for Highly-Charged Ions





SPECTRAP – Lasersystem



Kristalline Strukturen gespeicherter Ionen

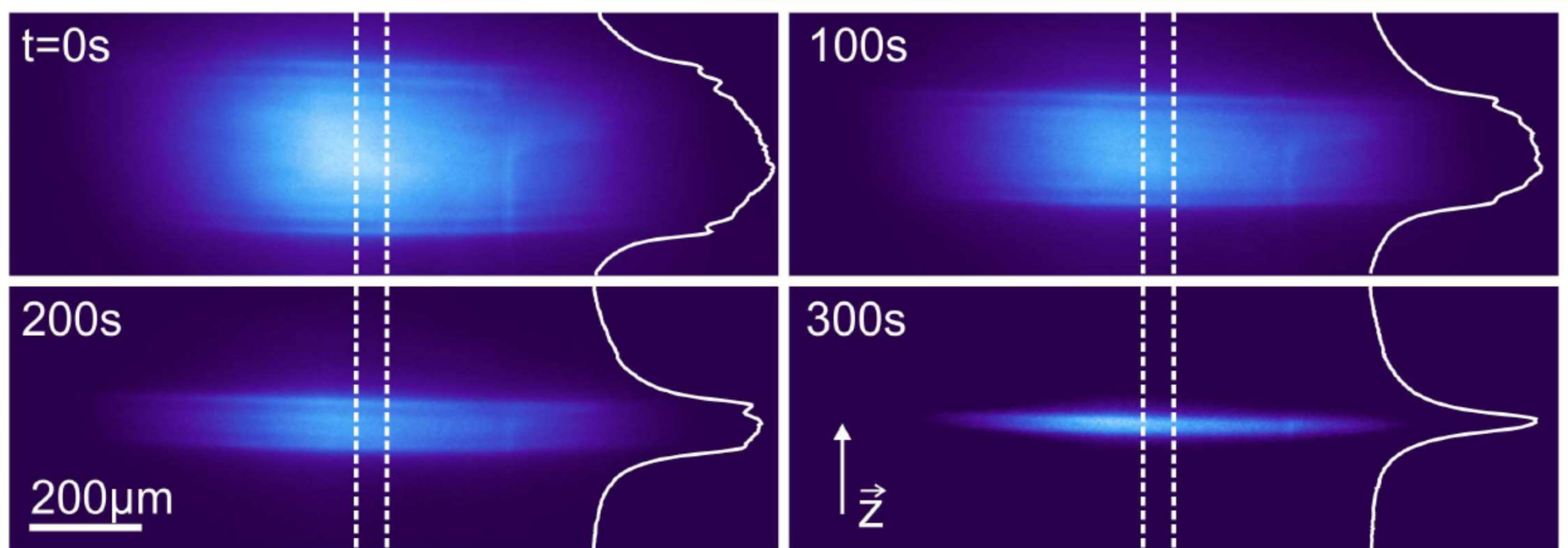


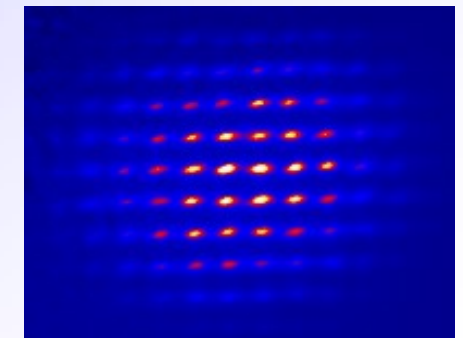
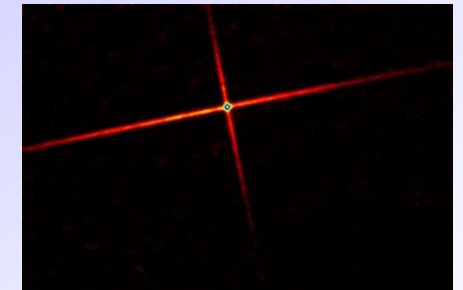
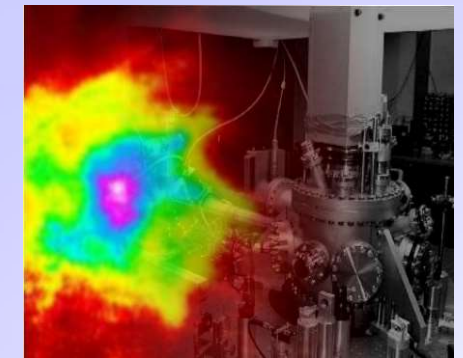
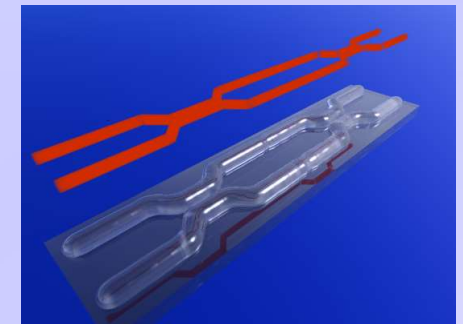
Figure 4.9: Four images of a Mg^+ ion crystal at different times. The trap's axis of symmetry is in vertical direction and the shell structure is visible in the images as well as in the cross sections through the central region (area within the dashed lines). With time, the number of ions and thus the number of shells decreases due to ion loss. At $t=0$, the images shows $3 \cdot 10^4$ ions that are irradiated by the laser beam. From the total (invisible) cloud volume, one can estimate the total ion number to be $N \approx 3 \cdot 10^5$.

Mögliche Themen für

Bachelor- und Masterarbeiten und Miniforschung

- Quanten-Simulation und Quanten-Computing
- Ultrakalte Quantengase
- Bose-Einstein-Kondensation (BEC)
- ATOMTRONICS = ‘Schaltkreise’ für Quantenmaterie
- Anwendungen der Mikrooptik in der Atomphysik
- Laserspektroskopie an hochgeladenen Ionen an der GSI
- Entwicklung und Aufbau von Lasersystemen (Optik)
- Entwicklung und Aufbau von Lasersystemen (Elektronik)

www.iap.physik.tu-darmstadt.de/apq



Abgeschlossene Bachelor-Arbeiten (Auswahl)

- Bau eines Instruments zur Bestimmung des Radius von Laserstrahlen
- Aufbau und Test einer rauscharmen Stromtreibers für Diodenlaser
- Polarisationstester für optische Fasern
- Durchstimmverhalten von gitterstabilen Diodenlasern
- Aufbau eines Laserdiodesystems im roten Wellenlängenbereich
- Entwicklung einer auf Radiofrequenzmodulation basierenden Stabilisierung für Diodenlaser
- Frequenzstabilisierung eines Diodenlasers durch Modulation eines Offsetmagnetfeldes
- Strahlformung und Aufbau eines Regelkreises zur Stabilisierung eines Diodenlasers
- Aufbau und Charakterisierung eines semi-konfokalen Resonators für Laserlicht bei 780 nm
- Realisierung und Optimierung einer Zwei-Frequenz-Steuerung eines Akusto-Opt. Modulators
- Aufbau und Test einer spektroskopischen Referenz für Rubidium
- Realisierung einer Sättigungsspektroskopie zur Stabilisierung von Diodenlasern
- Entwicklung einer elektronischen Ansteuerung für optomechanische Komponenten
- Untersuchungen zur Durchstimmbarkeit von Diodenlasern
- Computergestützte Steuerung und Auswertung v. Experimenten mit lasergekühlten Atomen
- Characterizing Microlenses for Optical Dipole Trap Arrays
- Aufbau und Charakterisierung eines Diodenlasers zur Chipkühlung von Rubidium
- Aufbau eines Diodenlasersystems bei 640nm
- Aufbau und vergleichende Charakterisierung von interferenzstabilisierten Diodenlasern
- Realisierung einer kompakten und fasergebundenen Diamanteinzelphotonenquelle

Abgeschlossene Master-Arbeiten (Auswahl)

- Kontrollierte Adressierbarkeit eines optischen Dipolfallenregisters
- Bose-Einstein Kondensate und optische Wellenstrukturen
- Bose-Einstein Kondensate und ringförmige mikrooptische Dipolpotentiale
- Planung und Aufbau eines Experiments zur Manipulation einzelner neutraler Atome
- Aufbau eines UV-Lasersystems für die Laserspektroskopie an gespeich. hochgeladenen Ionen
- Kohärente Präzisionsspektroskopie in einem Register optischer Dipolfallen
- Charakterisierung einer UV-Laserlichtquelle zur Spektroskopie von wasserstoff-ähnlichem Bi
- Detektion von Einzelatomen in Dipolfallenregistern
- Kohärente Manipulation von lasergekühlten metastabilen Neon-Atomen mittels Stimulated Raman Adiabatic Passage
- Bose-Einstein Kondensate in eindimensionalen Gittern
- Charakterisierung von Dipolfallenregistern für die Quanteninformationsverarbeitung mit neutralen Atomen
- Optimierte Detektion neutraler Atome in Dipolfallenregistern
- Experimente mit Isotopenmischungen von kalten metastabilen Neonatomen
- Präparation von Superpositionszuständen in metastabilem Neon
- Kohärenter Transport atomarer Quantenzustände in Registern optischer Dipolfallen
- Weiterführende Arbeiten am UV-Lasersystem u. Aufbau u. Charakterisierung von EIT-Spektr.
- Kohärenzeigenschaften von Bose-Einstein-Kondensaten in ringförmigen Dipolpotentialen
- Zustandabhängige Stoßwechselwirkungen lasergekühlter, metastabiler Neonatome
- Vorarbeiten zur Implementierung von Quantengattern in Dipolfallenregistern

